

$B^0 \rightarrow D K^{*0}$ 崩壊の研究

東北大學
根岸 健太郎

目次

- ・ 序論
 - Belle実験
 - CP非保存角 ϕ_3
 - $B \rightarrow DK$ 崩壊
- ・ R_{DK^*} 測定
- ・ まとめ

Belle実験について
CP非保存角 ϕ_3 とは
 ϕ_3 測定のためのB → DK崩壊

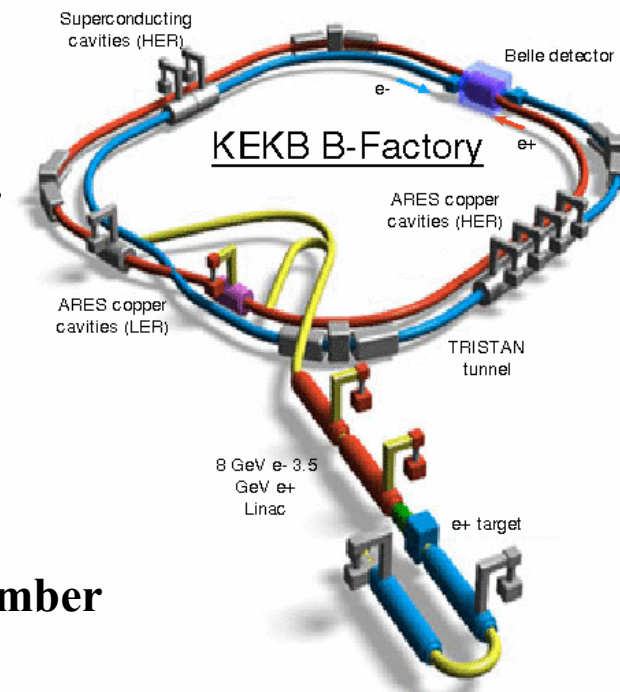
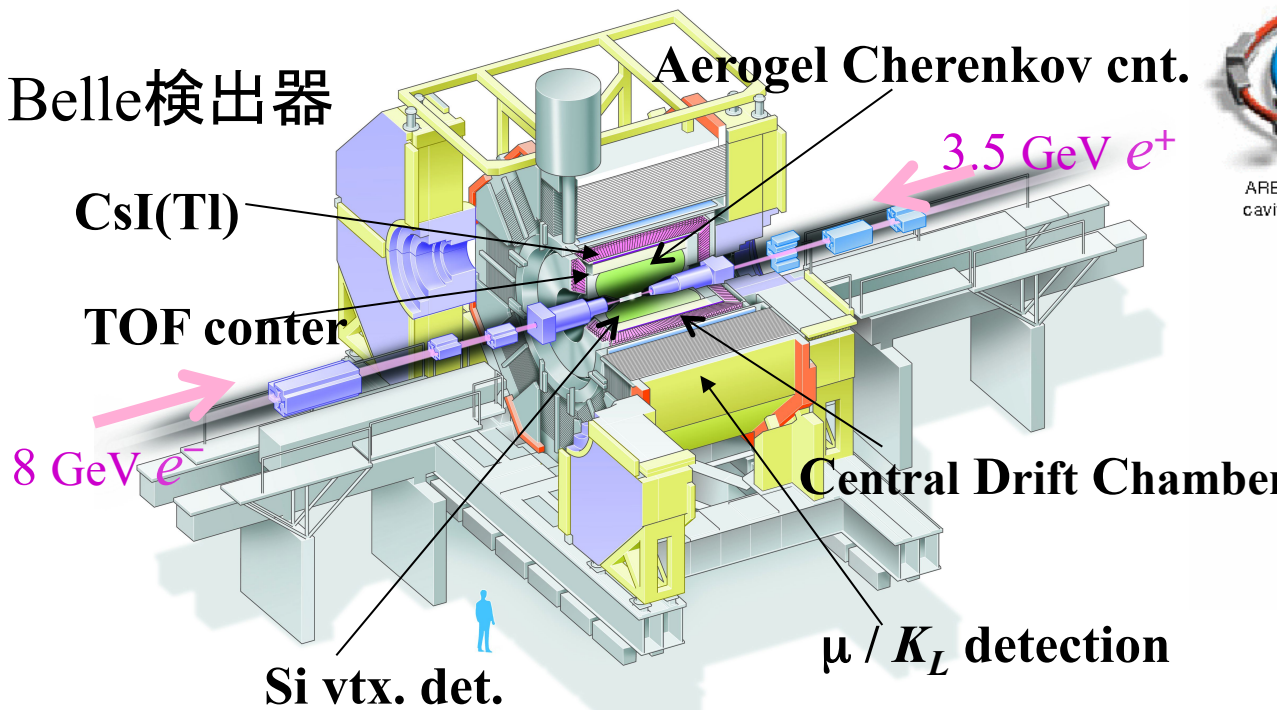
序論

Belle実験

- Belle実験
 - e^+e^- 衝突で $Y(4S)$ ($b\bar{b}$ レゾナンス)を生成

$$\begin{aligned} Y(4S) &\rightarrow B^+B^- \sim 50 \% \\ &\rightarrow B^0\bar{B}^0 \sim 50 \% \end{aligned}$$

- KEKB加速器
 - $e^- : 8.0 \text{ GeV}, e^+ 3.5 \text{ GeV}$, 重心エネルギー 10.6 GeV (非線形)
 - e^+e^- 衝突器として世界最高のルミノシティ

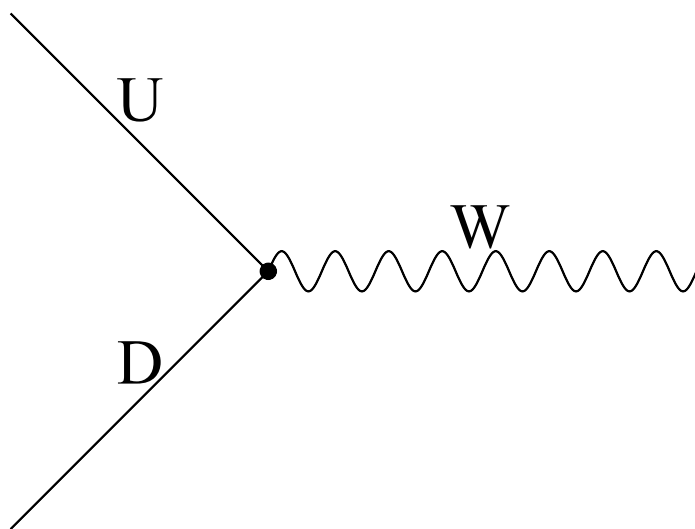


CP非保存角 ϕ_3

- CKM(Caibbo-小林-益川)行列
 - 弱い相互作用のCharged currentに入ってくる行列
 - 質量の固有状態とフレイバーの固有状態を混合

$$\mathcal{L}_{int} = -\frac{g}{\sqrt{2}} (\bar{U}_L \gamma_\mu V_{CKM} D_L W_\mu^+) + h.c.$$

$U = (u, c, t)$
 $D = (d, s, b)$
 U_L, D_L : 左巻き成分



CP非保存角 ϕ_3

- CKM(Caibbo-小林-益川)行列
 - 弱い相互作用のCharged currentに入ってくる行列
 - 質量の固有状態とフレイバーの固有状態を混合

$$\mathcal{L}_{int} = -\frac{g}{\sqrt{2}} (\bar{U}_L \gamma_\mu V_{CKM} D_L W_\mu^+) + h.c.$$

U = (u, c, t)
 D = (d, s, b)
 U_L, D_L : 左巻き成分

- CKM行列はユニタリでなければならない

$$V_{CKM} = \begin{pmatrix} V_{ud} & V_{us} & V_{ub} \\ V_{cd} & V_{cs} & V_{cb} \\ V_{td} & V_{ts} & V_{tb} \end{pmatrix}$$

各成分は複素数

複素位相は V_{ub} , V_{td} に押し込める事が出来る

$$V_{CKM} V_{CKM}^\dagger = 1$$

ユニタリ条件

CP非保存角 ϕ_3

- CKM(Caibbo-小林-益川)行列
 - 弱い相互作用のCharged currentに入ってくる行列
 - 質量の固有状態とフレイバーの固有状態を混合

$$\mathcal{L}_{int} = -\frac{g}{\sqrt{2}} (\bar{U}_L \gamma_\mu V_{CKM} D_L W_\mu^+) + h.c.$$

U = (u, c, t)
 D = (d, s, b)
 U_L, D_L : 左巻き成分

– CKM行列はユニタリでなければならない

$$V_{CKM} = \begin{pmatrix} V_{ud} & V_{us} & V_{ub} \\ V_{cd} & V_{cs} & V_{cb} \\ V_{td} & V_{ts} & V_{tb} \end{pmatrix}$$

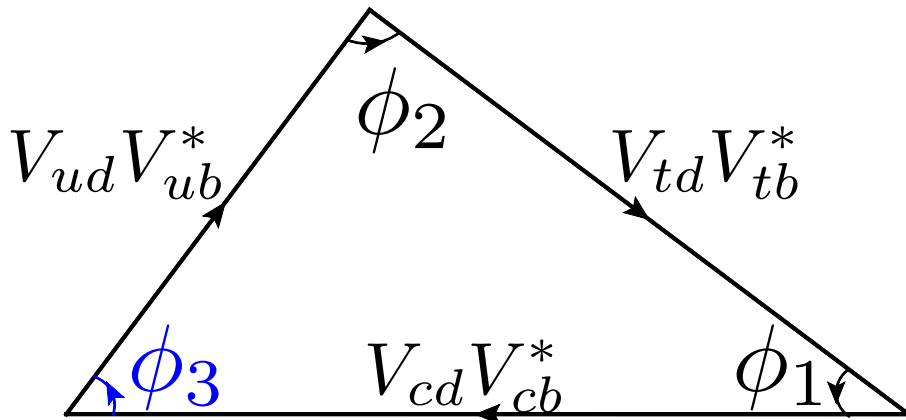
$$V_{CKM} V_{CKM}^\dagger = \begin{pmatrix} 1 & 0 & 0 \\ 0 & 1 & 0 \\ 0 & 0 & 1 \end{pmatrix}$$

$$V_{ud} V_{ub}^* + V_{cd} V_{cb}^* + V_{td} V_{tb}^* = 0$$

– 各項が複素数 → 複素平面上に三角形 → ユニタリ三角形

ユニタリ三角形

- ユニタリ三角形



$$\phi_3 \equiv \arg\left(\frac{V_{ud}V_{ub}^*}{-V_{cd}V_{cb}^*}\right)$$

$$\sim -\arg(V_{ub})$$

$$\phi_1 = (21.15^{+0.90}_{-0.88})^\circ$$

$$\phi_2 = (89.0^{+4.4}_{-4.2})^\circ$$

$$\phi_3 = (68^{+13}_{-14})^\circ$$

ICHEP 2010
EPS 2011

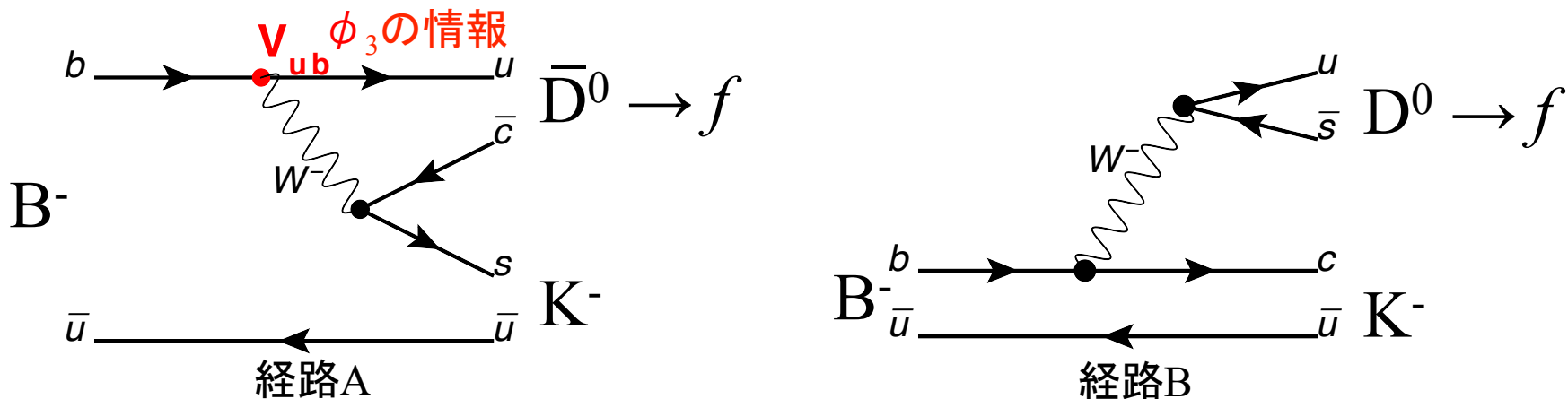
ϕ_3 の精度が悪い
精度の向上

→ SMパラメターの精密測定
→ New Physicsの手掛かり?

- b → u遷移のある(V_{ub} の含まれる)モードで観測する事となる。
 - どのように観測するか → 次ページ

ϕ_3 測定と $B \rightarrow D\bar{D}$ 崩壊

D : D^0 or \bar{D}^0



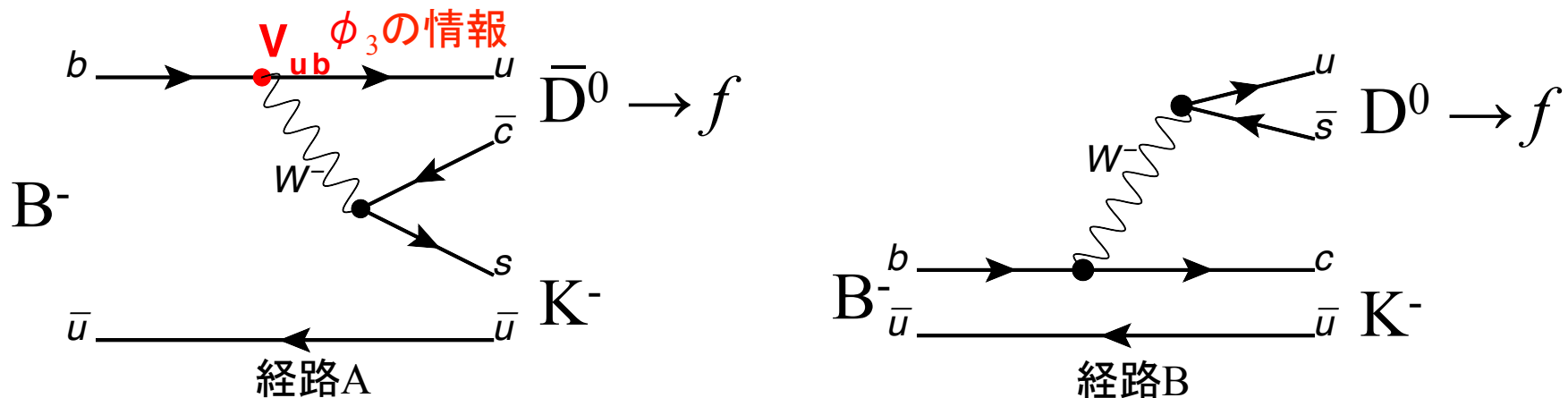
- \bar{D}^0, D^0 が同じ終状態 f へ崩壊
 - 終状態が同じ二つのtree diagramが干渉
- 経路Aに $b \rightarrow u$ 遷移が含まれる $\rightarrow \phi_3$ の影響が入ってくる

かなりざっくりした説明↑
 勿論他にも色々効果が入って来る訳で。。。
 もう少し具体的に、

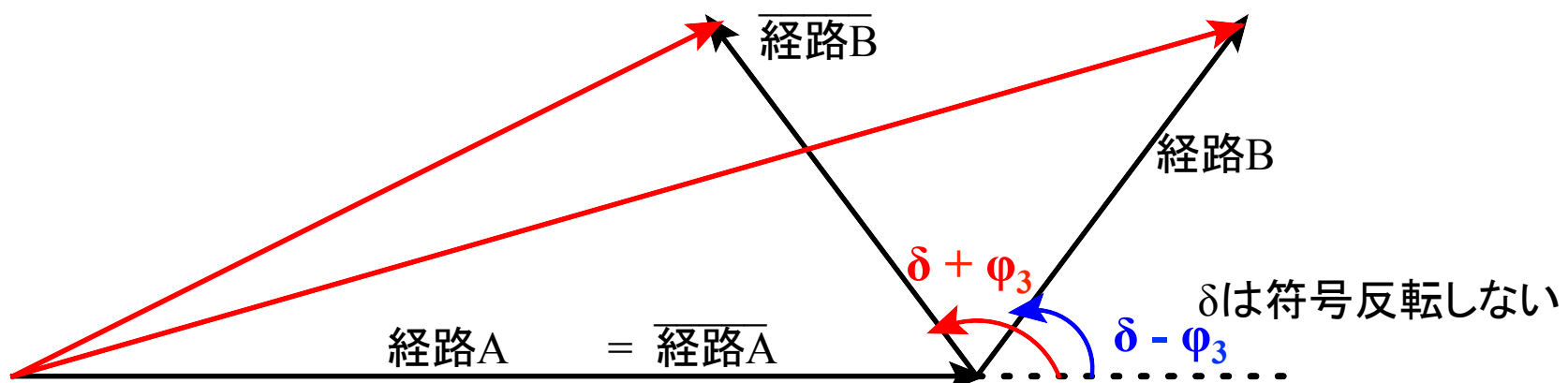
- どんな観測量を測るのか？
- どんな f を使うの？

ϕ_3 測定と $B \rightarrow D\bar{D}$ 崩壊

D : D^0 or \bar{D}^0



- Charge conjugateで弱い相互作用の位相は符号が反転する。
- 経路A,B間に異なる強い相互作用の位相 δ が入ってくる



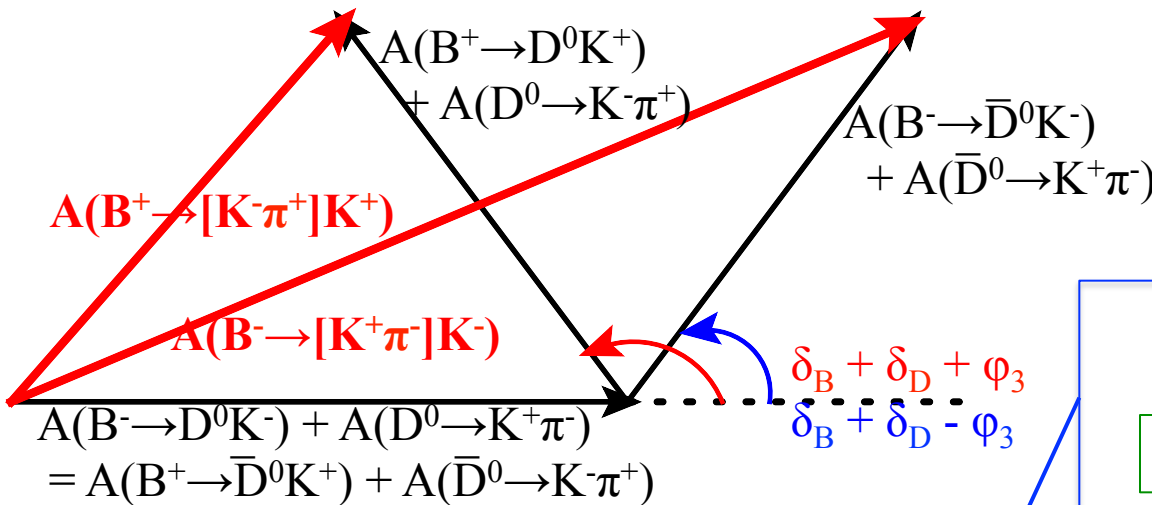
- 観測されるのは赤い線の(経路A,Bの干渉を経た)二乗

B → DK崩壊に続くD崩壊の例 –ADS法–

- D → K π , K $\pi\pi^0$, K $\pi\pi\pi$, etc

D. Atwood, I. Dunietz and A. Soni, PRL78, 3257 (1997)
PRD 63, 036005 (2001)

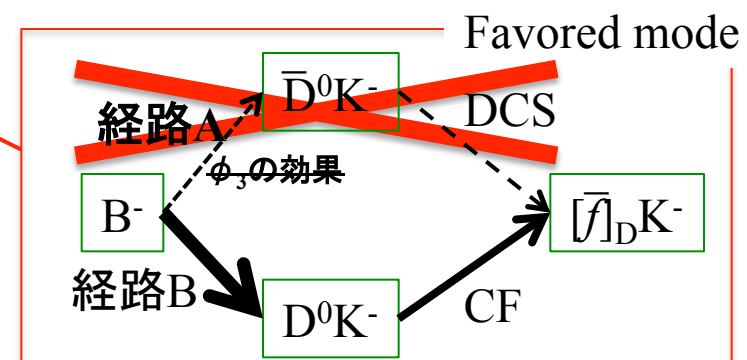
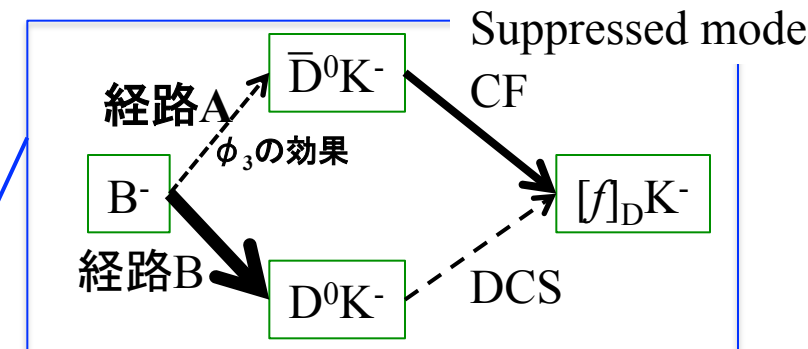
- D崩壊がFlavor Specific (Favored, Suppressed mode)
- Sup. modeで崩壊振幅は小さい、CP非保存の影響が大きい



典型的に求める二つの変数

$$R_{ADS} = \frac{\Gamma(B^- \rightarrow D_{sup}K^-) + \Gamma(B^+ \rightarrow D_{sup}K^+)}{\Gamma(B^- \rightarrow D_{fav}K^-) + \Gamma(B^+ \rightarrow D_{fav}K^+)} = r_B^2 + r_D^2 + 2r_B r_D \cos(\delta_B + \delta_D) \cos \phi_3$$

$$A_{ADS} = \frac{\Gamma(B^- \rightarrow D_{sup}K^-) - \Gamma(B^+ \rightarrow D_{sup}K^+)}{\Gamma(B^- \rightarrow D_{sup}K^-) + \Gamma(B^+ \rightarrow D_{sup}K^+)} = \pm 2r_B r_D \sin(\delta_B + \delta_D) \sin \phi_3$$



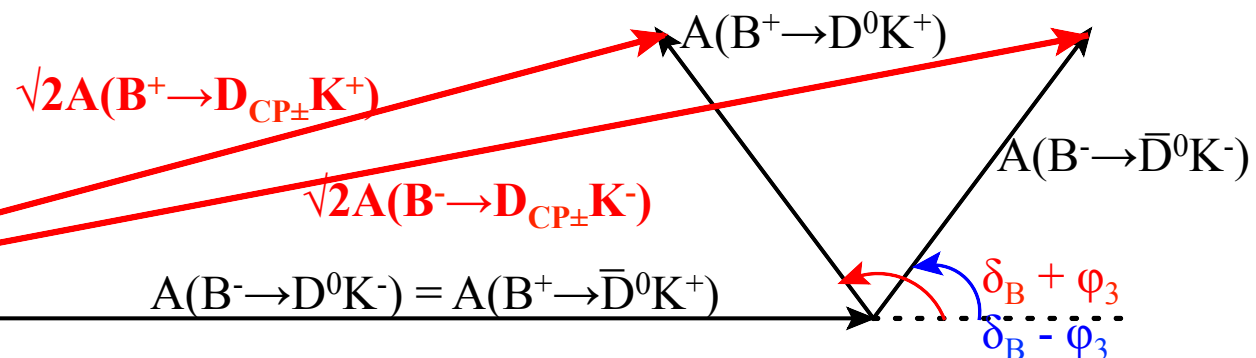
B → DK崩壊に続くD崩壊の例 -GLW法-

- D → K π , K $\pi\pi^0$, K $\pi\pi\pi$, etc
 - D崩壊がFlavor Specific (Favored, Suppressed mode)
 - Sup. modeで崩壊振幅は小さい、CP非保存の影響が大きい
 - D → KK, $\pi\pi$, etc
 - D崩壊がCP固有モード
 - 比較的大きな崩壊振幅
- M. Gronau and D. Wyler, PLB 265, 172 (1991)

典型的に求める二つの変数

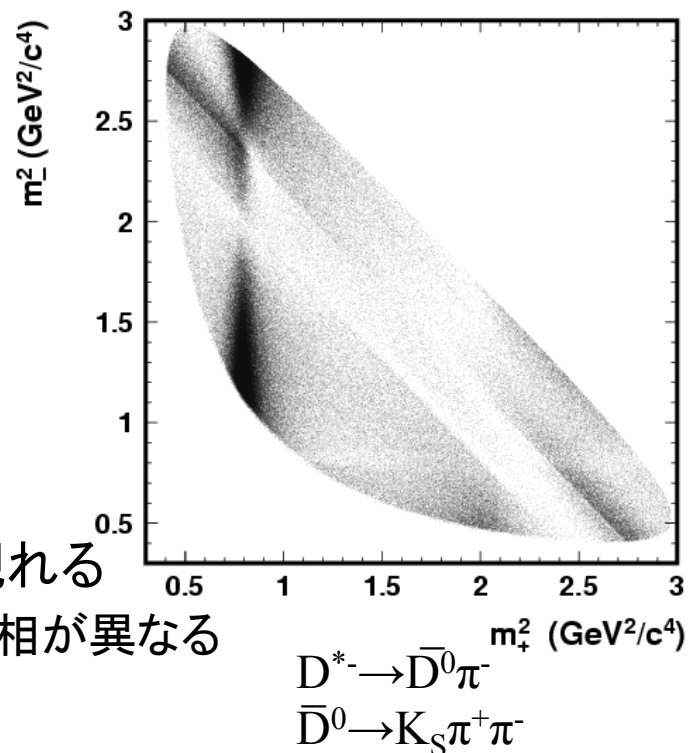
$$\begin{aligned} R_{\pm} &= \frac{\Gamma(B^- \rightarrow D_{\pm} K^-) + \Gamma(B^+ \rightarrow D_{\pm} K^+)}{\Gamma(B^- \rightarrow D_{\text{fav}} K^-) + \Gamma(B^+ \rightarrow D_{\text{fav}} K^+)} \\ &= 1 + r_B^2 \pm 2r_B \cos \delta_B \cos \phi_3 \\ A_{\pm} &= \frac{\Gamma(B^- \rightarrow D_{\pm} K^-) - \Gamma(B^+ \rightarrow D_{\pm} K^+)}{\Gamma(B^- \rightarrow D_{\pm} K^-) + \Gamma(B^+ \rightarrow D_{\pm} K^+)} \\ &= \frac{\pm 2r_B \sin \delta_B \sin \phi_3}{R_{\pm}} \end{aligned}$$

$$D_{CP\pm} = \frac{(D^0 + \bar{D}^0)}{\sqrt{2}}$$



B → DK崩壊に続くD崩壊の例 –Dalitz plot analysis–

- D → K π , K $\pi\pi^0$, K $\pi\pi\pi$, etc
 - D崩壊がFlavor Specific (Favored, Suppressed mode)
 - Sup. modeで崩壊振幅は小さい、CP非保存の影響が大きい
- D → KK, $\pi\pi$, etc
 - D崩壊がCP固有モード
 - 比較的大きな崩壊振幅
- D → K_S $\pi\pi$, etc
 - D崩壊が三体崩壊
 - 三体崩壊のレゾナンス分布に ϕ_3 の影響が現れる
 - 経由するレゾナンスにより強い相互作用の位相が異なる



A. Poluektov, PRL81, 112002 (2010)

$$\phi_3 = (78.4 \pm 3.6(\text{stat.}) \pm 8.9(\text{syst.})^{+11.6}_{-10.8}(\text{model}))^\circ$$

B → DKを用いた ϕ_3 測定

- $D \rightarrow K\pi, K\pi\pi^0, K\pi\pi\pi, \text{etc}$
 - D崩壊がFlavor Specific (Favored, Suppressed mode)
 - Sup. modeで崩壊振幅は小さい、CP非保存の影響が大きい
- $D \rightarrow KK, \pi\pi, \text{etc}$
 - D崩壊がCP固有モード
 - 比較的大きな崩壊振幅
- $D \rightarrow K_S\pi\pi, \text{etc}$
 - D崩壊が三体崩壊
 - 三体崩壊のレゾナンス分布に ϕ_3 の影響が現れる
 - 経由するレゾナンスにより強い相互作用の位相が異なる
- 全部ひっくるめて、連立方程式を作る事になるので、他のモードを解析すればする程 ϕ_3 の制限がかかる！

ϕ_3 の測定の一般的なお話オワリ、
次からは自分の研究した $B^0 \rightarrow DK^{*0}$ について



- Neutral Bを使うということは、、、

**✖ B^0 - \bar{B}^0 mixingの効果
(ϕ_3 以外の効果)が入ってきてしまう**

頑張ろうとすると、
 $\Delta t, qr, \dots$ 色々測らないといけない物が増える。

→ 大変

$B^0 \rightarrow D K^{*0}$

- Neutral Bを使うということは、、、

~~OK!~~ B^0 - \bar{B}^0 mixingの効果(ϕ_3 以外の効果)が入ってきてしまう
– K^{*0} によるSelf Taggingで解決

$$K^{*0} \rightarrow \begin{cases} K^+ \pi^- \sim 2/3 \\ K^0 \pi^0 \sim 1/3 \end{cases}$$

$K^+ \pi^-$ で K^* を組んだ → K^{*0} → B^0 の崩壊
 $K^- \pi^+$ で K^* を組んだ → \bar{K}^{*0} → \bar{B}^0 の崩壊
えらい楽

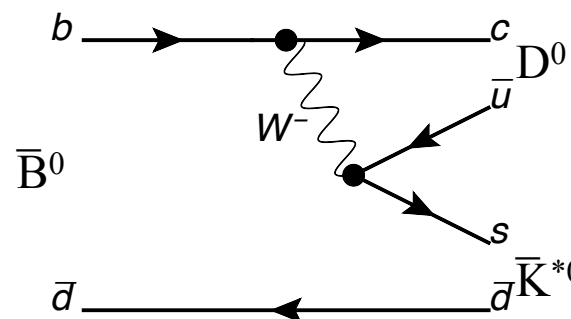
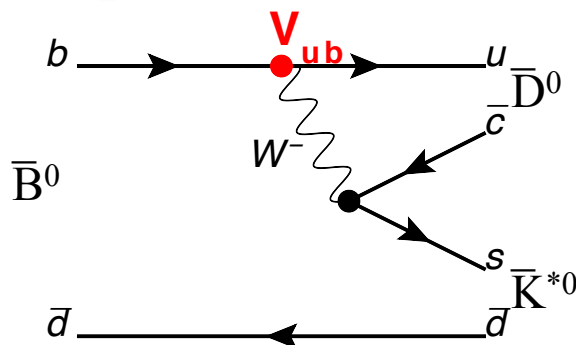
$B^0 \rightarrow D K^{*0}$

- Neutral Bを使うということは、、、、

~~OK!~~ B^0 - \bar{B}^0 mixingの効果(ϕ_3 以外の効果)が入ってきてしまう
– K^{*0} によるSelf Taggingで解決

$$K^{*0} \rightarrow \begin{cases} K^+ \pi^- \sim 2/3 \\ K^0 \pi^0 \sim 1/3 \end{cases}$$

- Charged Bの測定とは独立
- 干渉の効果が大きい



経路A, B共に
Color Suppressed

▲ DKπ non-resonant modeの効果

Suppressed mode

- ここで求めるのは

$$R_{DK^*} \cong \frac{\Gamma(B^0 \rightarrow [K^+ \pi^-]_D K^{*0}) + \Gamma(\bar{B}^0 \rightarrow [K^- \pi^+]_D \bar{K}^{*0})}{\Gamma(B^0 \rightarrow [K^- \pi^+]_D K^{*0}) + \Gamma(\bar{B}^0 \rightarrow [K^+ \pi^-]_D \bar{K}^{*0})}$$

$$= r_S^2 + r_D^2 + 2k r_S r_D \cos(\delta_S + \delta_D) \cos \phi_3$$

Favored mode

$$B^0 \rightarrow [K\pi]_D [K\pi]_{K^{*0}}$$

R_{DK*}測定

Selection Criteria

- K^\pm/π^\pm 同定
 - Efficiency = 90 %, Fake rate $\sim 10 \%$
- D^0, K^{*0} の再構成
 - $D^0 : |M_{K\pi} - M_{D0}| < 0.015 \text{ GeV } (\pm 3\sigma)$
 - $K^{*0} : |M_{K\pi} - M_{K^{*0}}| < 0.050 \text{ GeV } (\pm 1\Gamma)$
- B^0 の再構成
 - 二つの運動学的変数を利用

$$M_{bc} \equiv \sqrt{E_{\text{beam}}^2 - (p_{D^0} + p_{K^{*0}})^2}$$

・再構成した B の不変質量に対応

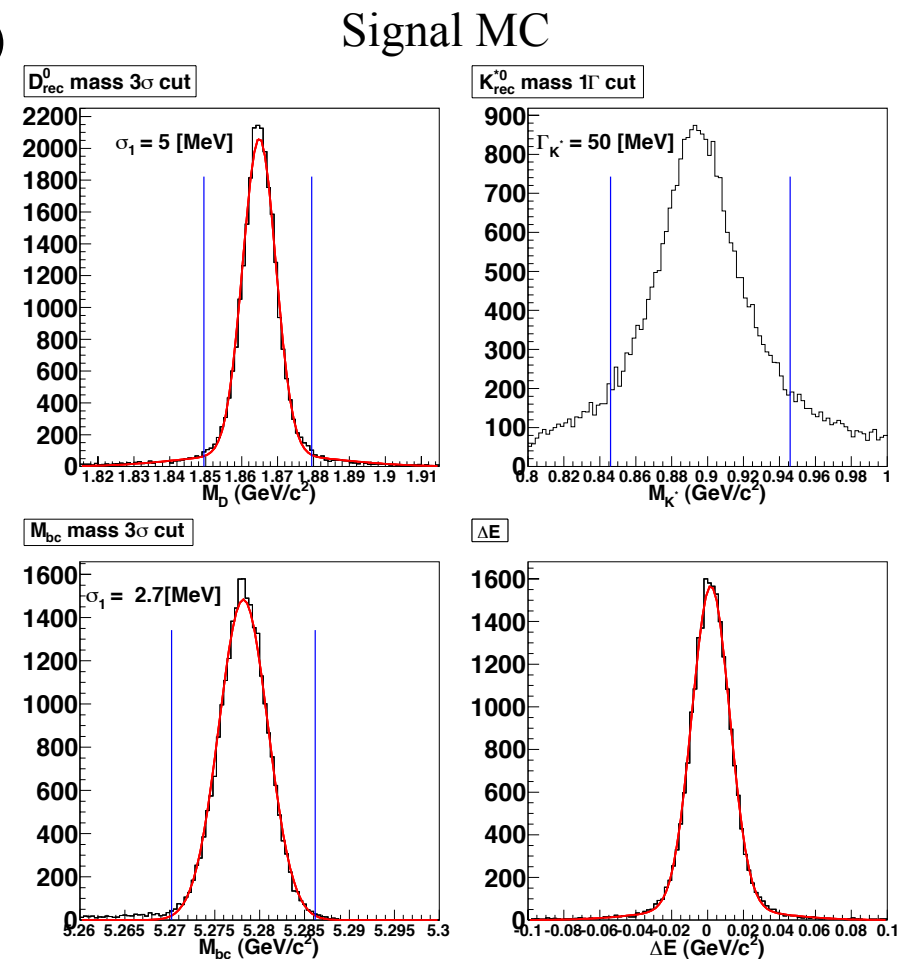
$$\bullet |M_{bc} - M_{B0}| < 0.008 \text{ GeV } (\pm 3\sigma)$$

$$\Delta E \equiv E_{D^0} + E_{K^{*0}} - E_{\text{beam}}$$

・エネルギーの保存に対応

シグナルだと ~ 0

• Fit → シグナルの導出

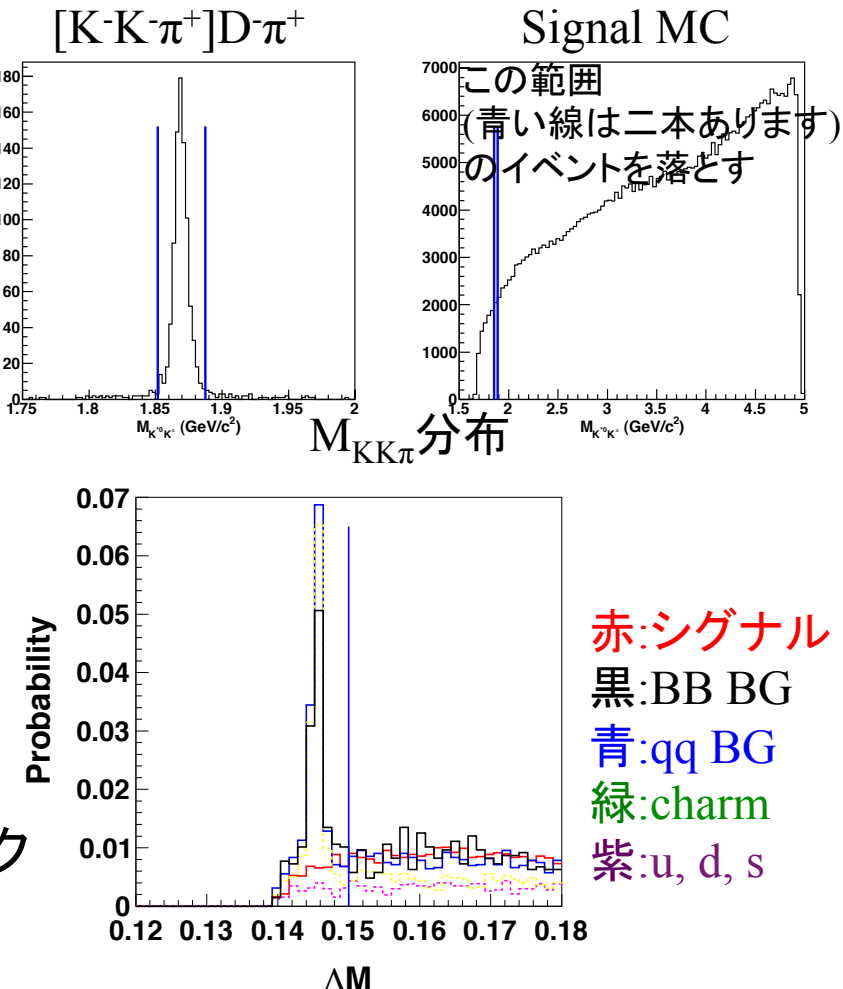


バックグラウンドの抑制

- ϕ_3 測定のモードは基本的にバックグラウンドとの戦いである
 - BBバックグラウンド : $B \rightarrow XY\dots$
 - qqバックグラウンド : $e^+e^- \rightarrow qq$ ($q = (u, d, s, c)$)
- BBバックグラウンドの抑制
 - 終状態が同じになる崩壊を抑制
 - $[K^-K^-\pi^+]D^-\pi^+$
 - D^* イベント
 - $D^{*+} \rightarrow D^0\pi^+$ 崩壊の D^0 を捉え
シグナルを再構成してしまう
 $\Delta M < 0.15$ GeV のイベントを除去

$$\Delta M : M_{D^{*\pm}} - m_{D^0}$$

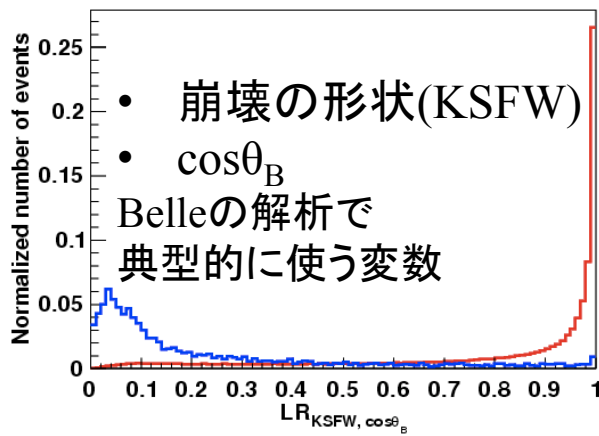
$$\Delta M \sim m_\pi (0.140 \text{ GeV}) \text{にビーグ}$$



qqバックグラウンドの抑制

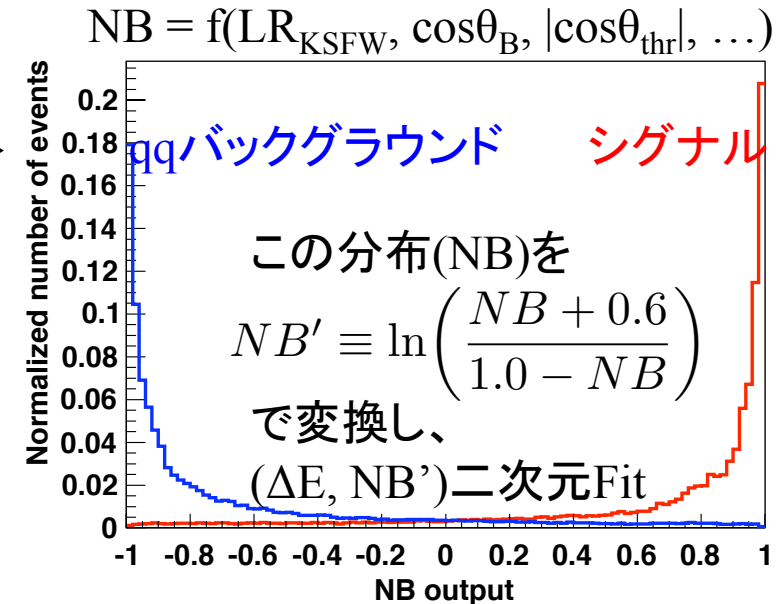
- Neural Network (NeuroBayes)

- qqバックグラウンドとシグナルで分布の違う変数をインプットし、
Neural Networkで分離させる、B→DKでは新しい手法

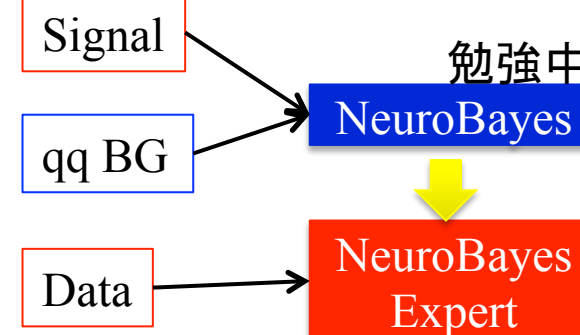


- $|\cos\theta_{thr}|$
- Δz
- $\cos\theta_{D^K}$
- $|qr|$
- ΔQ
- DK^* の距離
- $\cos\theta_B$

シグナルとBGで分布が違うと考えられる変数(7つ)



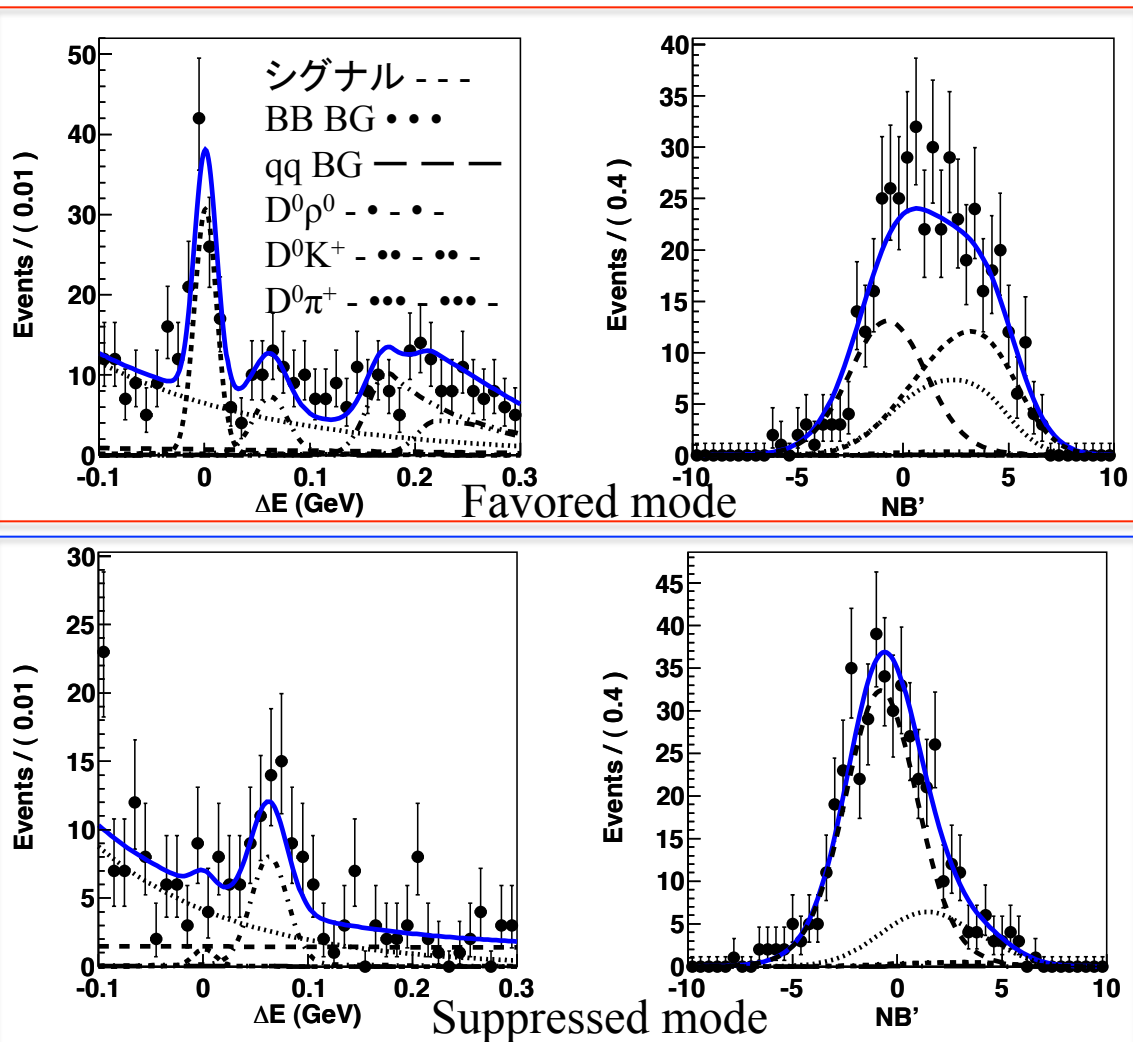
適当図解



このDataのシグナルっぽさはこれくらい(NB)です

Result

- $B^0 \rightarrow [K\pi]DK^{*0}$ で R_{ADS} を測定



- 得られたシグナル数
 - $N_{\text{fav.}} = 190 \pm 22$
 - $N_{\text{sup.}} = 7.7 \pm 10$
- 得られた R_{DK^*}

$$R_{DK^*} = \frac{N_{\text{sup.}}/\epsilon_{\text{sup.}}}{N_{\text{fav.}}/\epsilon_{\text{fav.}}} = (4.1^{+5.6+2.8}_{-5.0-1.8}) \times 10^{-2} < 0.16 \quad (95\% C.L.)$$
- 過去のBelleやBaBarより強い上限値

まとめ

Summary and Plan

- まとめ
 - SMのパラメータの測定それ自体とても重要
 - New Physicsの手掛かりとなる可能性
 - Neutral Bでの ϕ_3 測定は未だ行われていない
 - Charged Bでの結果とのクロスチェック
 - $B^0 \rightarrow [K\pi]DK^{*0}$ での R_{DK^*} の上限値を更新する事に成功
 - $R_{DK^*} < 0.24$ (95% C.L.) @BaBar 2009 with 465M BB
 - < 0.16 (95% C.L.) @Belle My result with 772M BB
 - ただいま論文を書いている所です。大変です。
- 今後の方針、課題
 - $B^0 \rightarrow [K_S\pi\pi]DK^{*0}$ のDalitz解析
 - 一生懸命頑張りたいと思います。



BACK UP

R_{DK*}

$$R_{DK^*} \equiv \frac{\Gamma(B^0 \rightarrow [K^+\pi^-]_D K + \pi^-) + \Gamma(\bar{B}^0 \rightarrow [K^-\pi^+]_D K^- \pi^+)}{\Gamma(B^0 \rightarrow [K^-\pi^+]_D K^+ \pi^-) + \Gamma(\bar{B}^0 \rightarrow [K^+\pi^-]_D K^- \pi^+)} \\ = r_S^2 + r_D^2 + 2k k_D r_S r_D \cos(\delta_S + \delta_D) \cos \phi_3$$

$$A_{DK^*} \equiv \frac{\Gamma(B^0 \rightarrow [K^+\pi^-]_D K + \pi^-) - \Gamma(\bar{B}^0 \rightarrow [K^-\pi^+]_D K^- \pi^+)}{\Gamma(B^0 \rightarrow [K^-\pi^+]_D K^+ \pi^-) + \Gamma(\bar{B}^0 \rightarrow [K^+\pi^-]_D K^- \pi^+)} \\ = \frac{2k k_D r_S r_D \sin(\delta_S + \delta_D) \sin \phi_3}{R_{DK^*}}$$

B⁰→DK^{*0}モードに特有

$$r_S^2 \equiv \frac{\Gamma(B^0 \rightarrow D^0 K^+ \pi^-)}{\Gamma(B^0 \rightarrow \bar{D}^0 K^+ \pi^-)} \\ = \frac{\int dp A_A^2(p)}{\int dp A_B^2(p)}$$

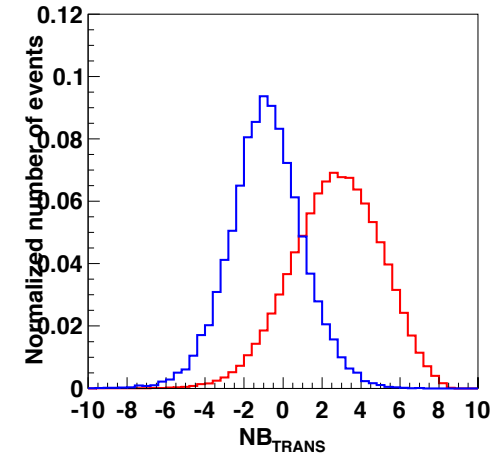
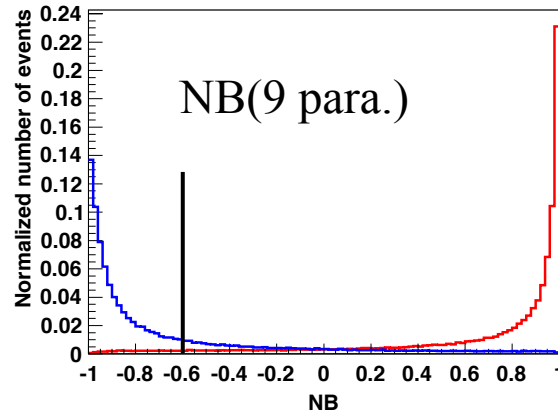
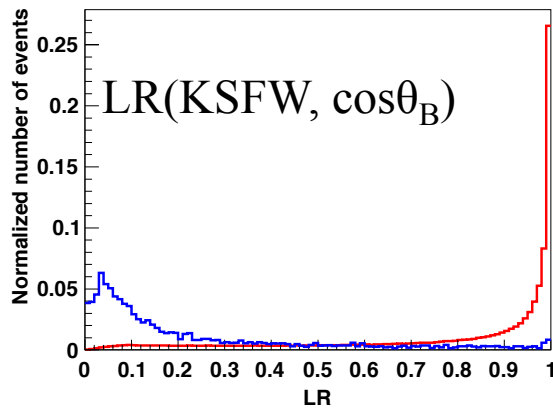
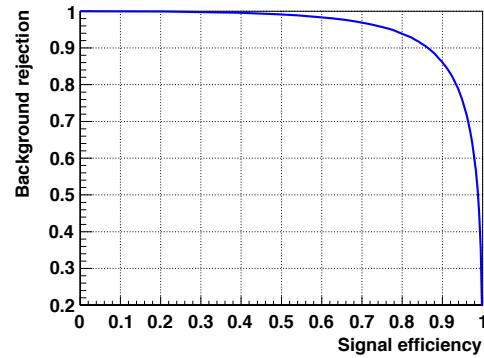
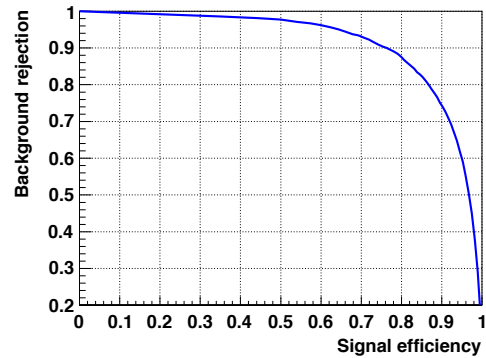
$$k e^{i\delta_S} \equiv \frac{\int dp A_A(p) A_B(p) e^{i\delta(p)}}{\sqrt{\int dp A_A^2(p) \int dp A_B^2(p)}}$$

他の実験で良く測定されている

$$r_D^2 \equiv \frac{\Gamma(D^0 \rightarrow K^+ \pi^-)}{\Gamma(D^0 \rightarrow K^- \pi^+)} \\ = \frac{\int dm A_{DCS}^2(m)}{\int dm A_{CF}^2(m)}$$

$$k_D e^{i\delta_D} \equiv \frac{\int dm A_{DCS}(m) A_{CF}(m) e^{i\delta(m)}}{\sqrt{\int dm A_{DCS}^2(m) \int dm A_{CF}^2(m)}}$$

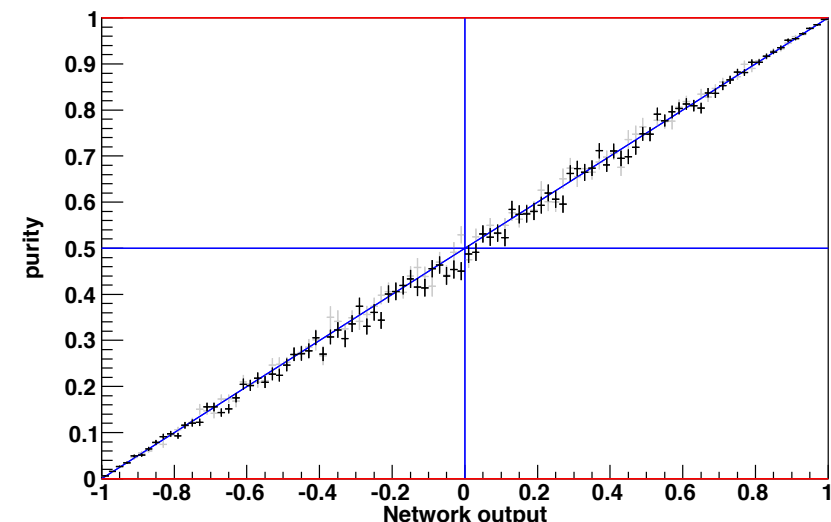
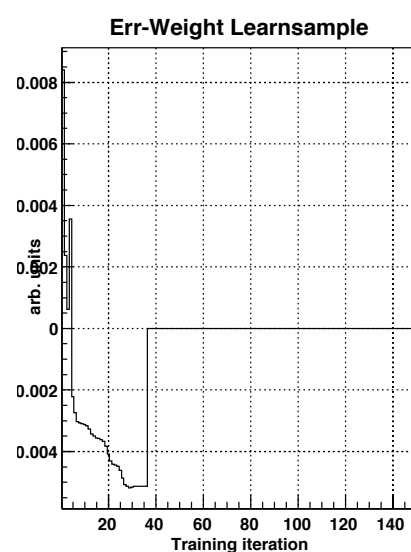
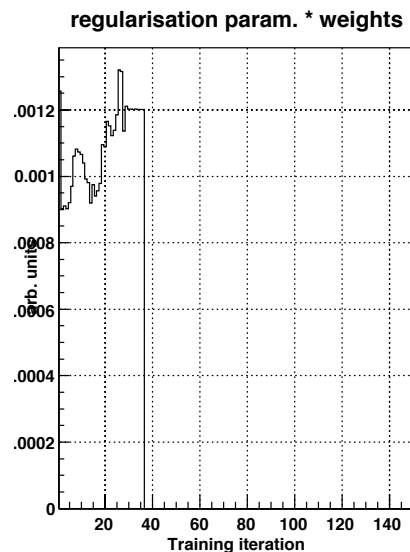
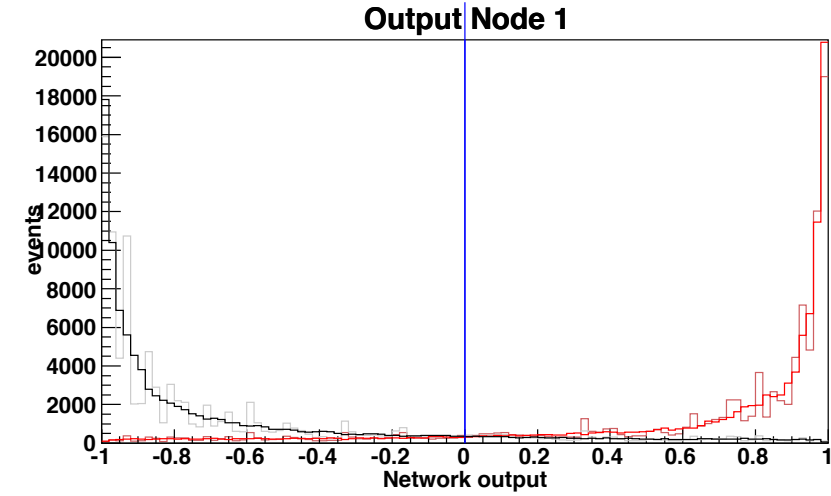
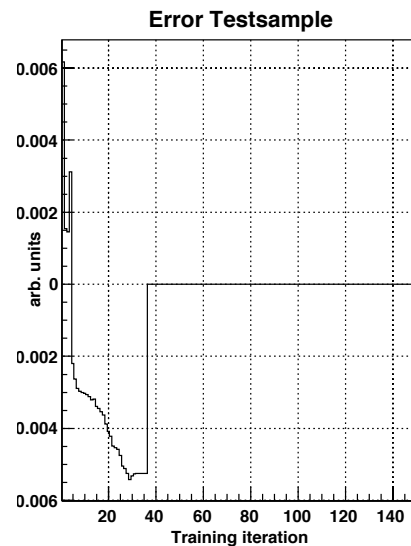
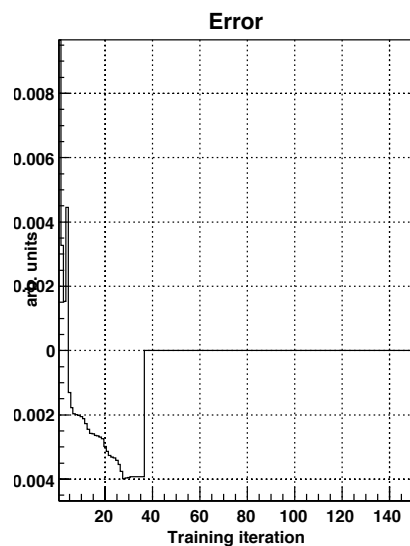
Neurobayes



NeuroBayes training

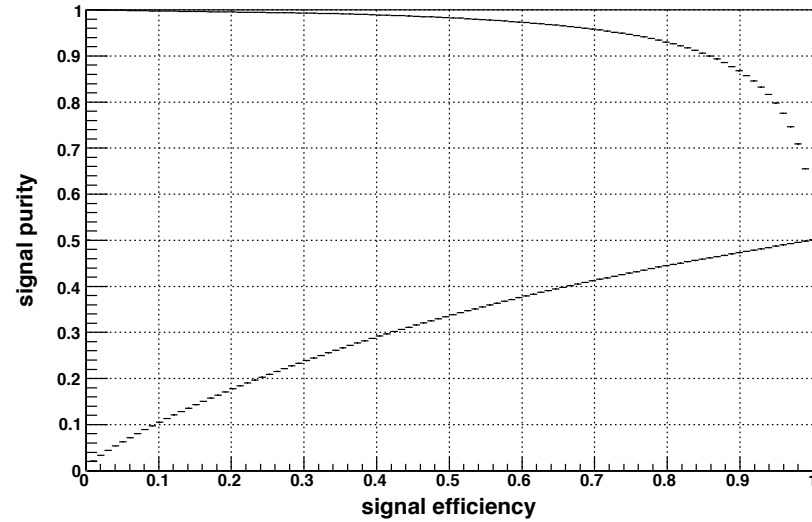
Phi-T
NeuroBayes® Teacher

Phi-T
NeuroBayes® Teacher

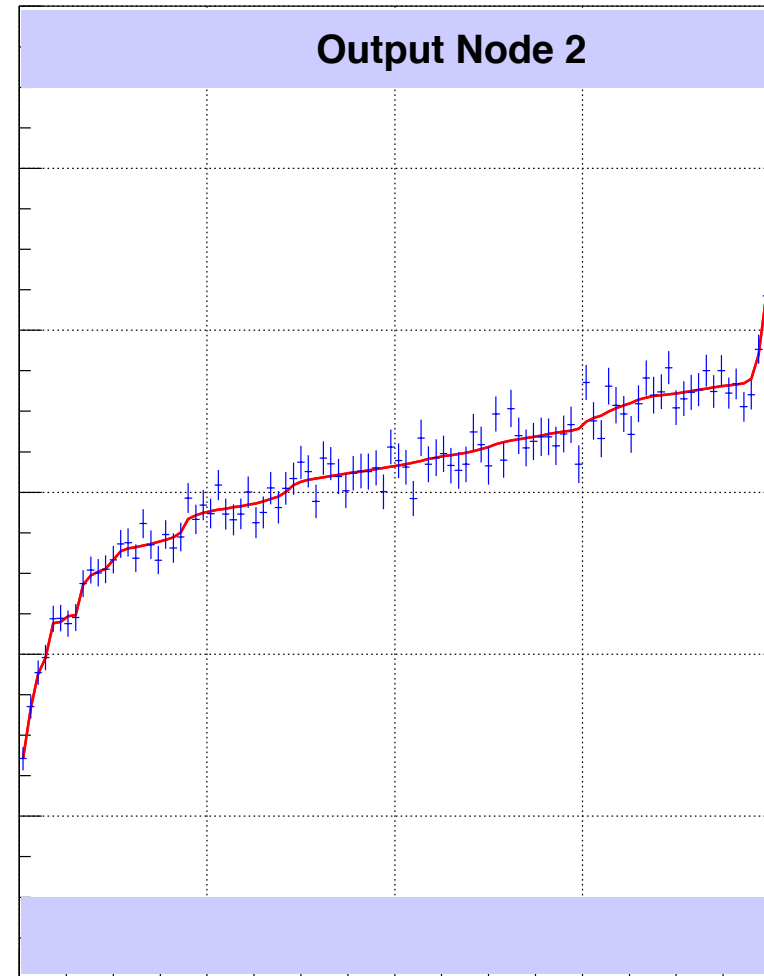
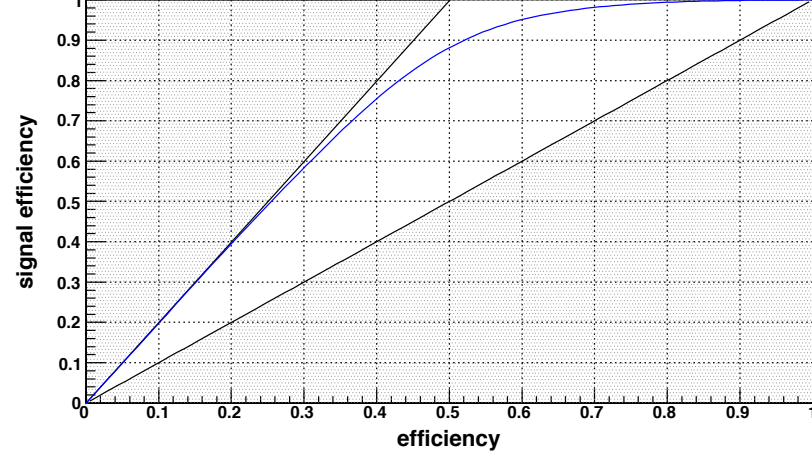


NeuroBayes training

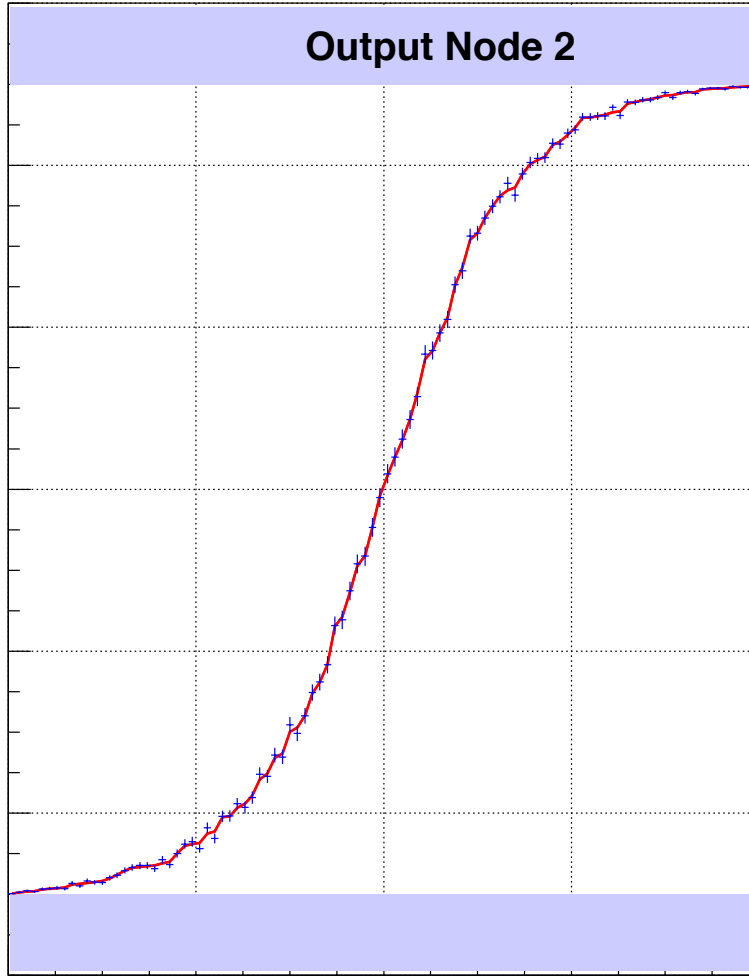
Phi-T
NeuroBayes® Teacher



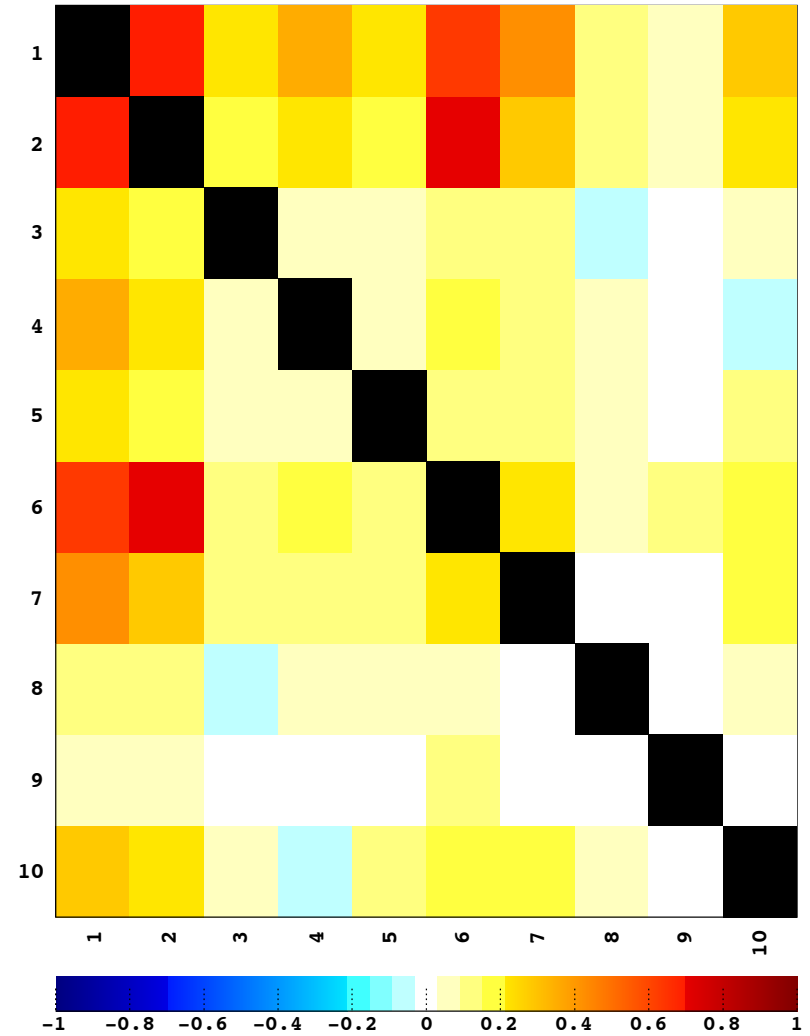
Gini index = 46.1%, max possible = 49.9%



NeuroBayes training



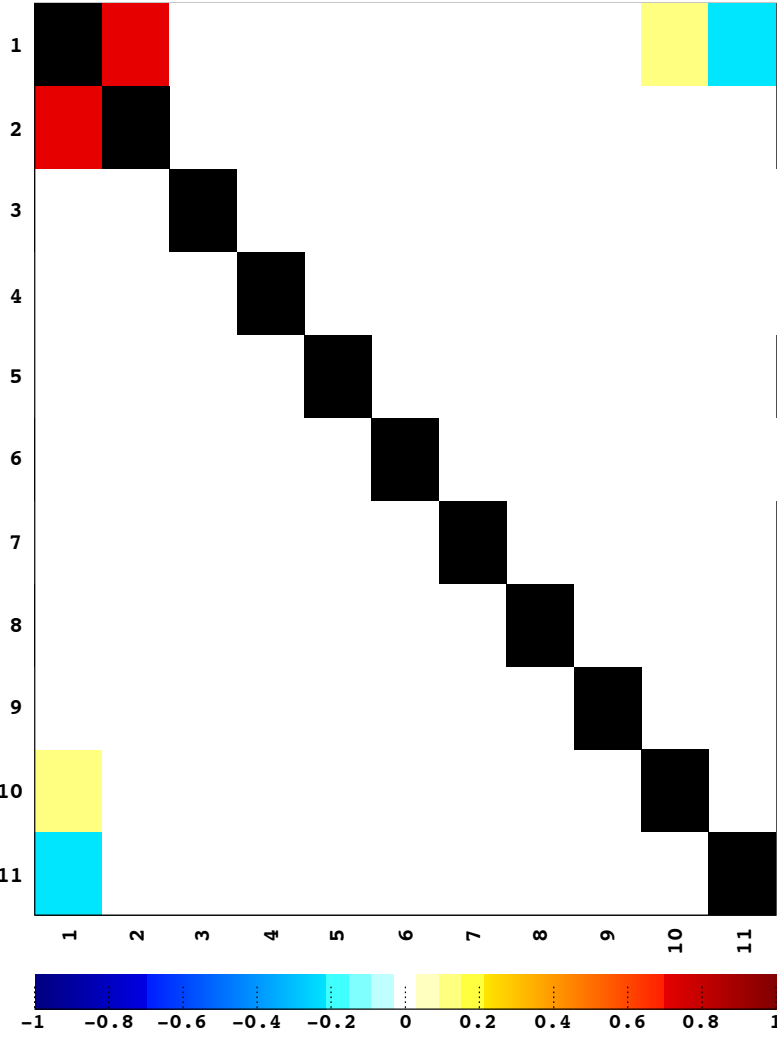
correlation matrix of input variables



NeuroBayes training

Phi-T
NeuroBayes® Teacher

correlation matrix of input variables

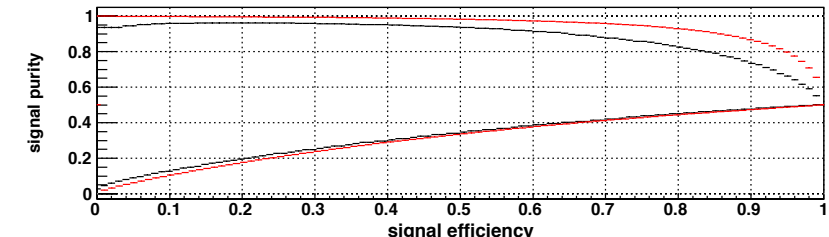
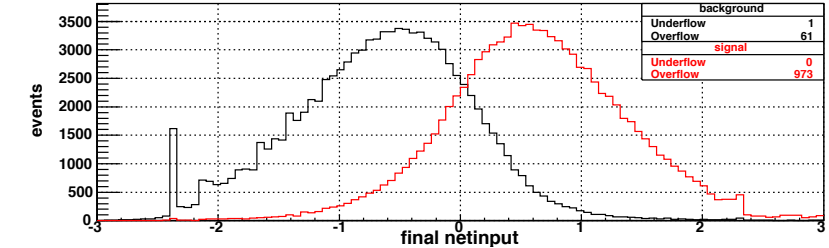
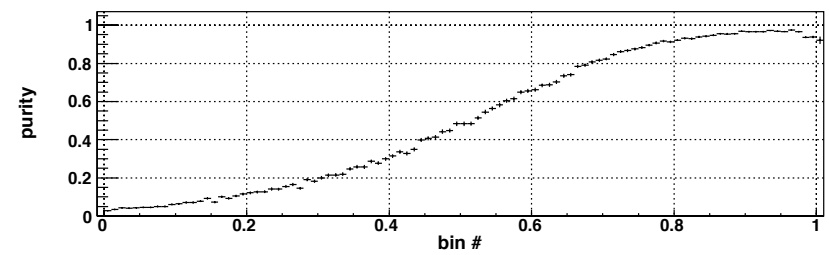
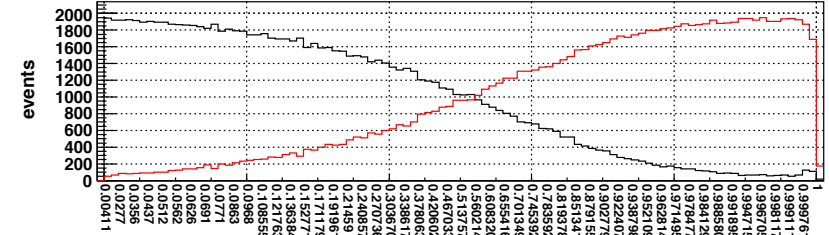


Input node 2 : k0lrksfw

1st most important
added signi. 274.32
signi. loss 89.69

PrePro:
only this 274.32
corr. to others 75.40%

Phi-T
NeuroBayes® Teacher



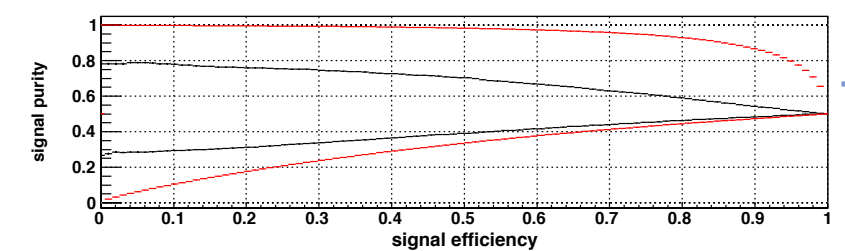
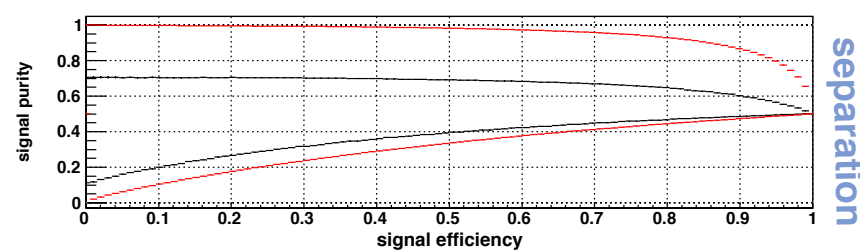
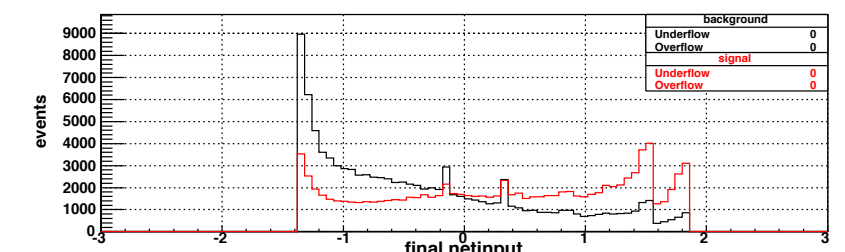
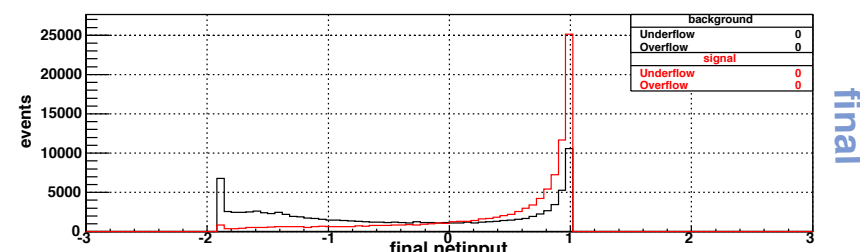
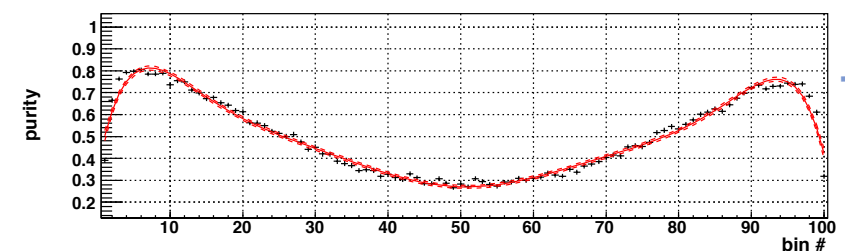
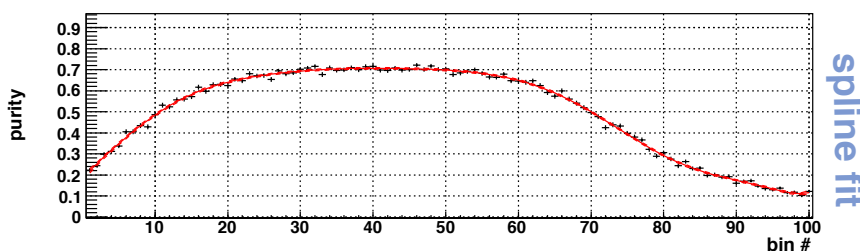
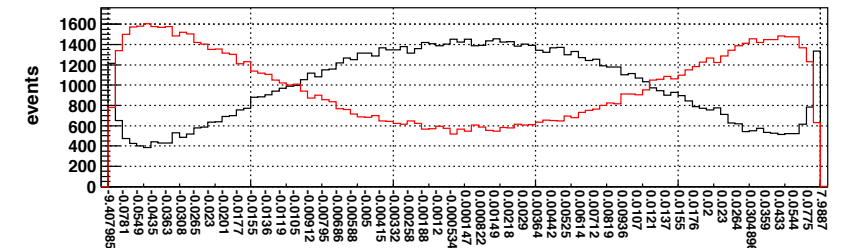
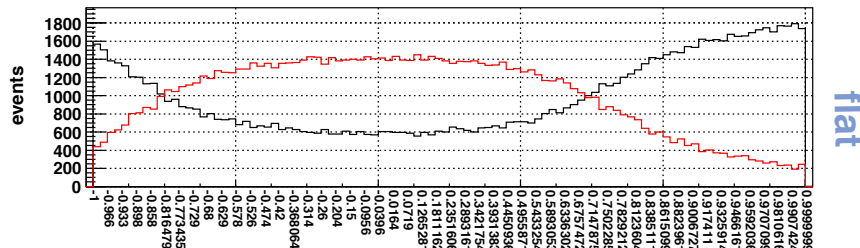
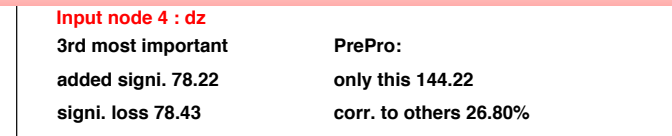
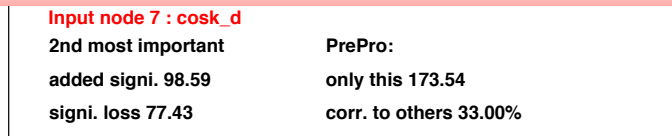
flat

purity

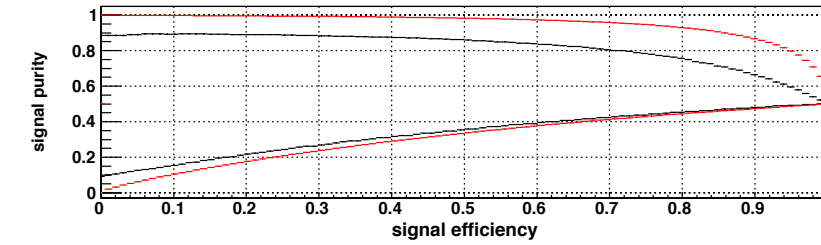
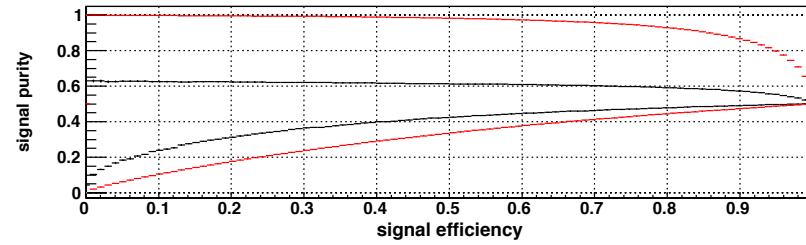
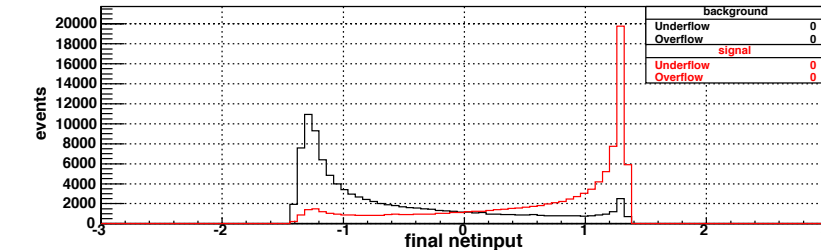
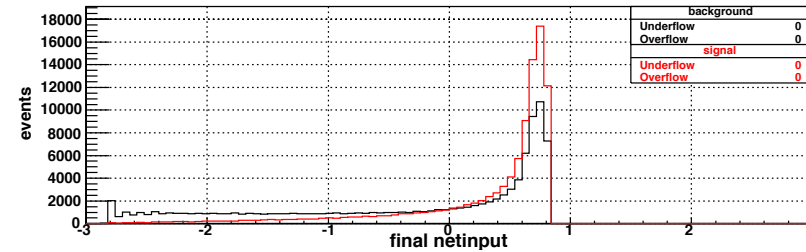
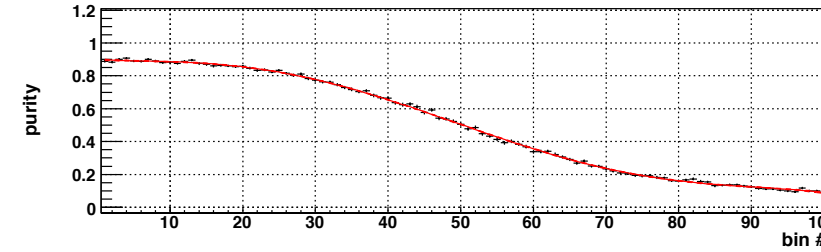
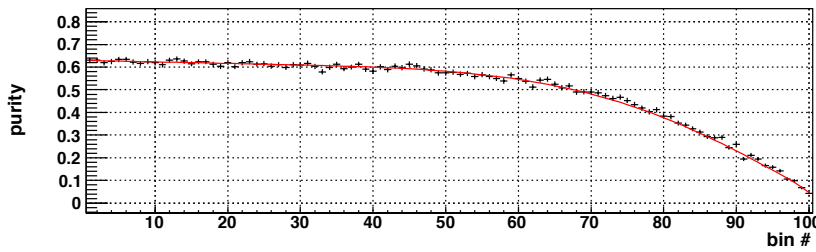
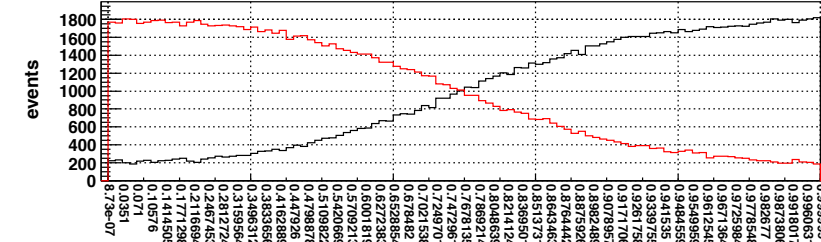
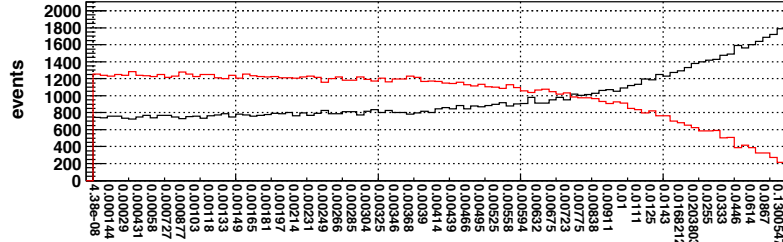
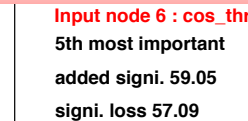
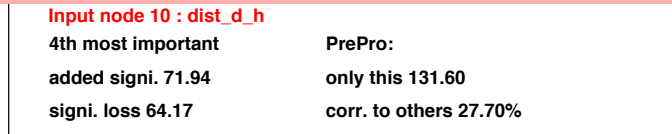
final

separation

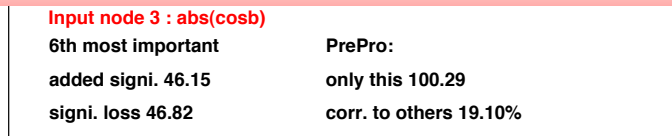
NeuroBayes training



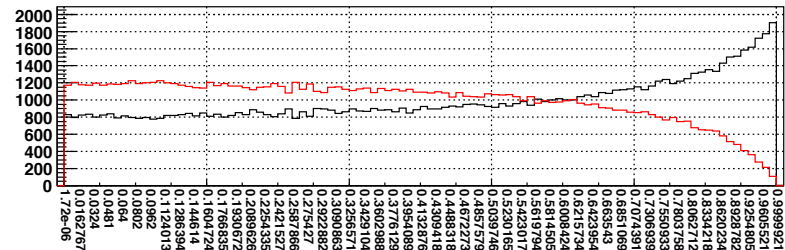
NeuroBayes training



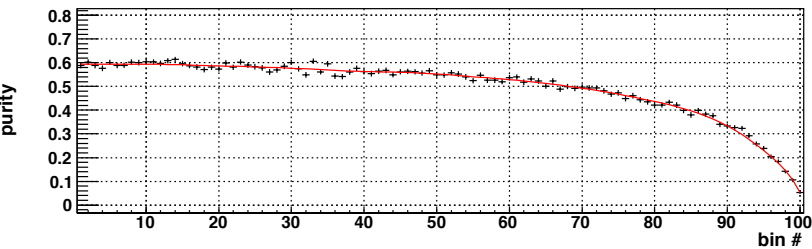
NeuroBayes training



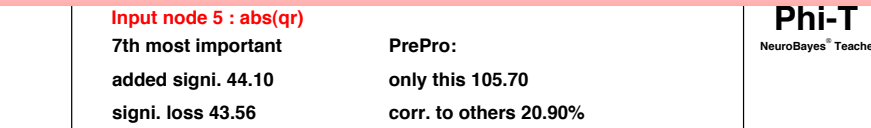
Phi-T
NeuroBayes® Teacher



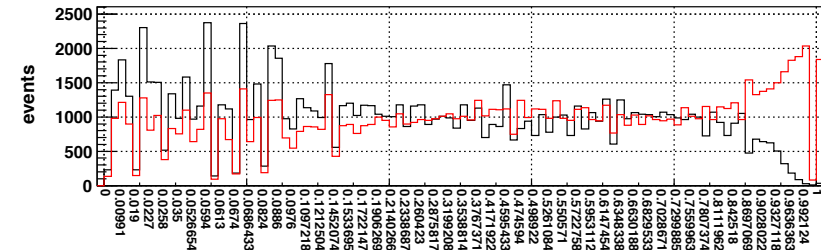
flat



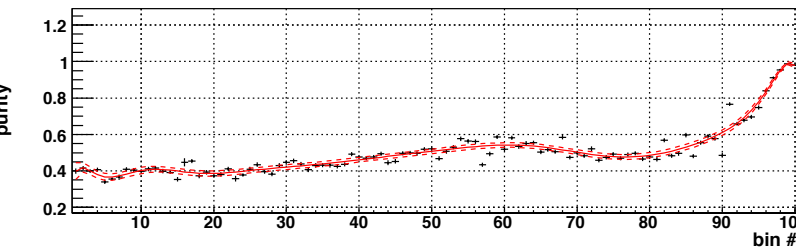
spline fit



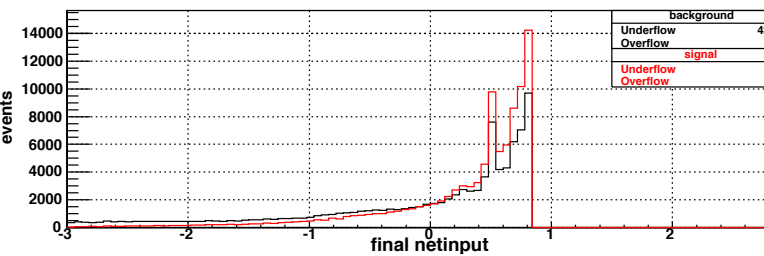
Phi-T
NeuroBayes® Teacher



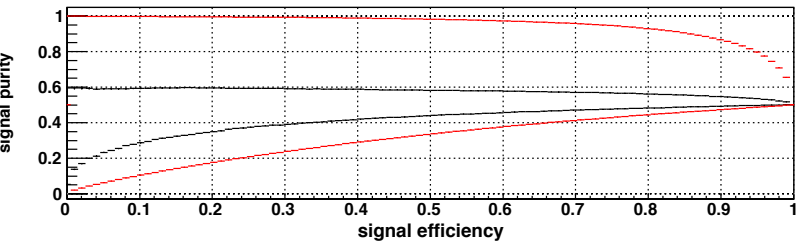
flat



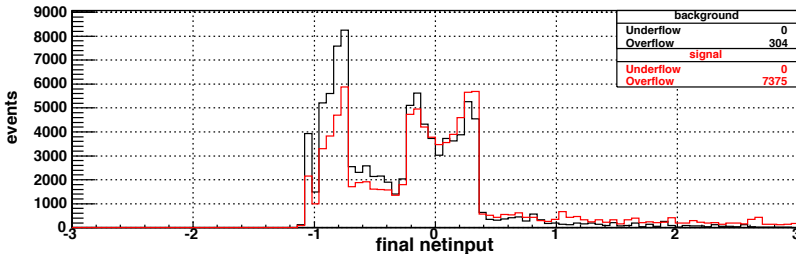
spline fit



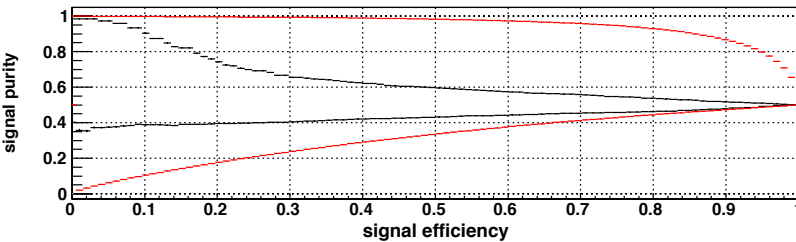
final



separation

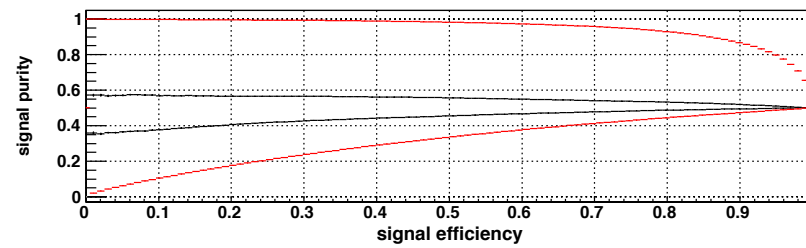
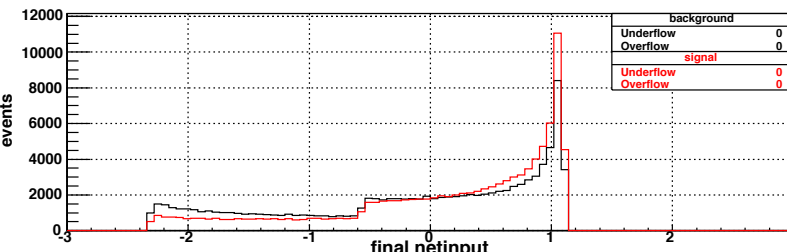
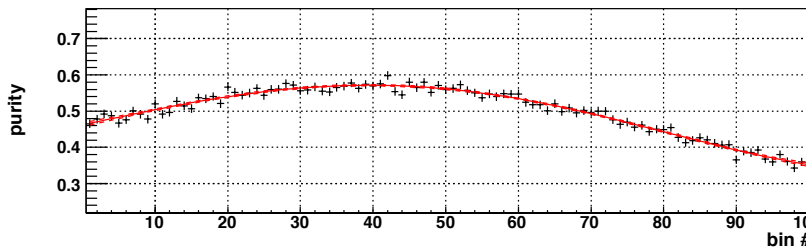
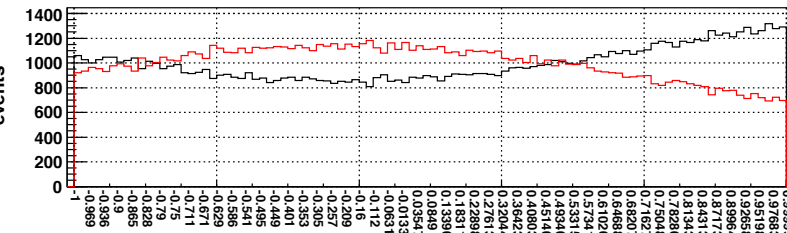
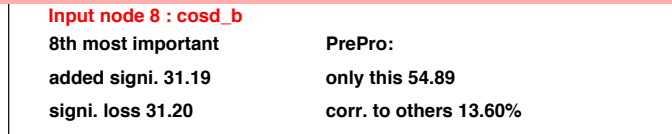


final

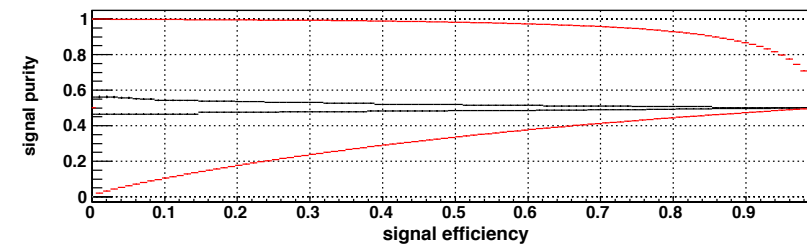
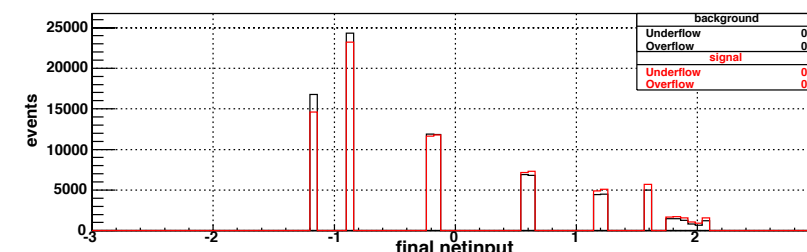
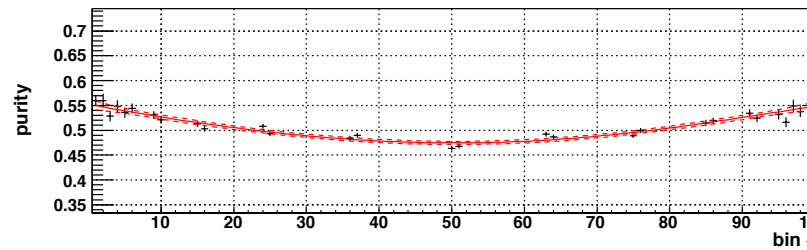
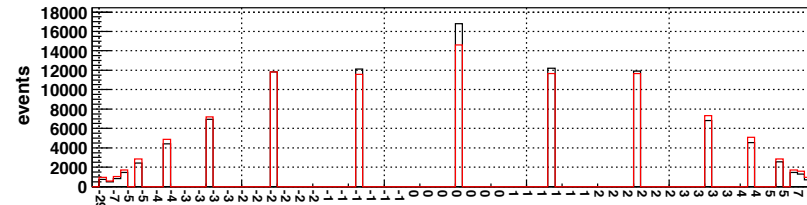
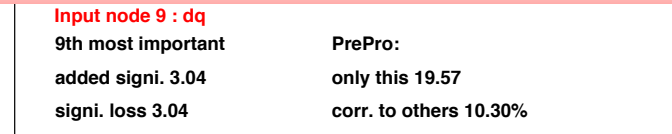


separation

NeuroBayes training



Phi-T
NeuroBayes® Teacher



flat

spine fit

thal

separation

Phi-T
EuroBayes® Teacher

11

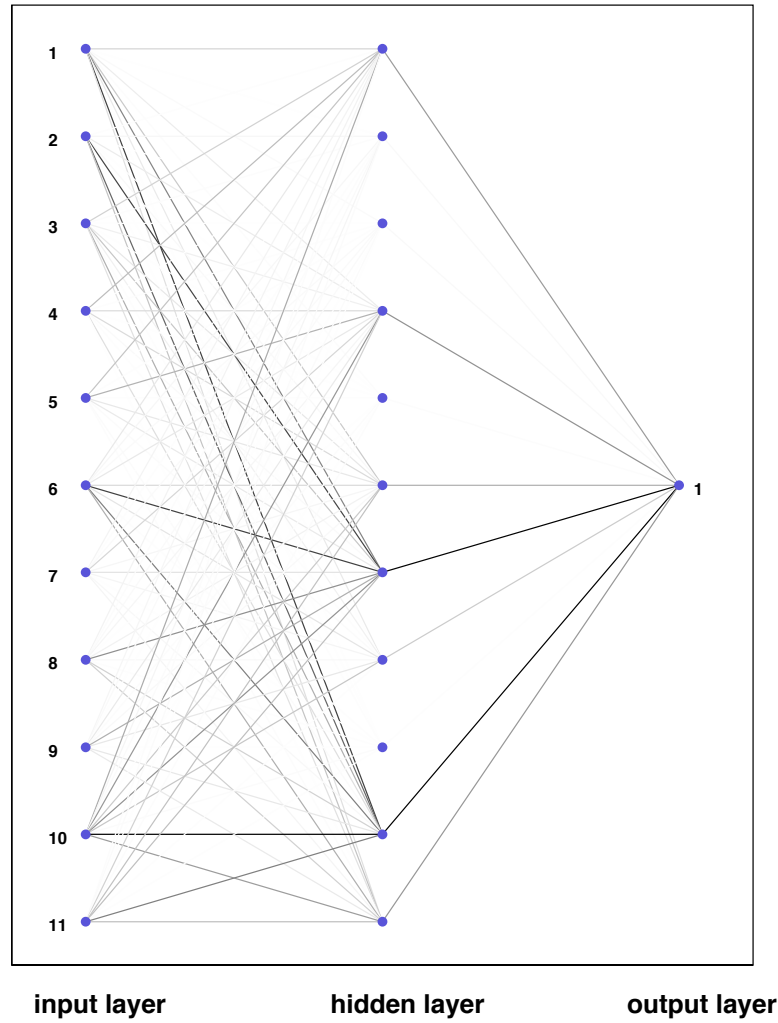
Opinion

0

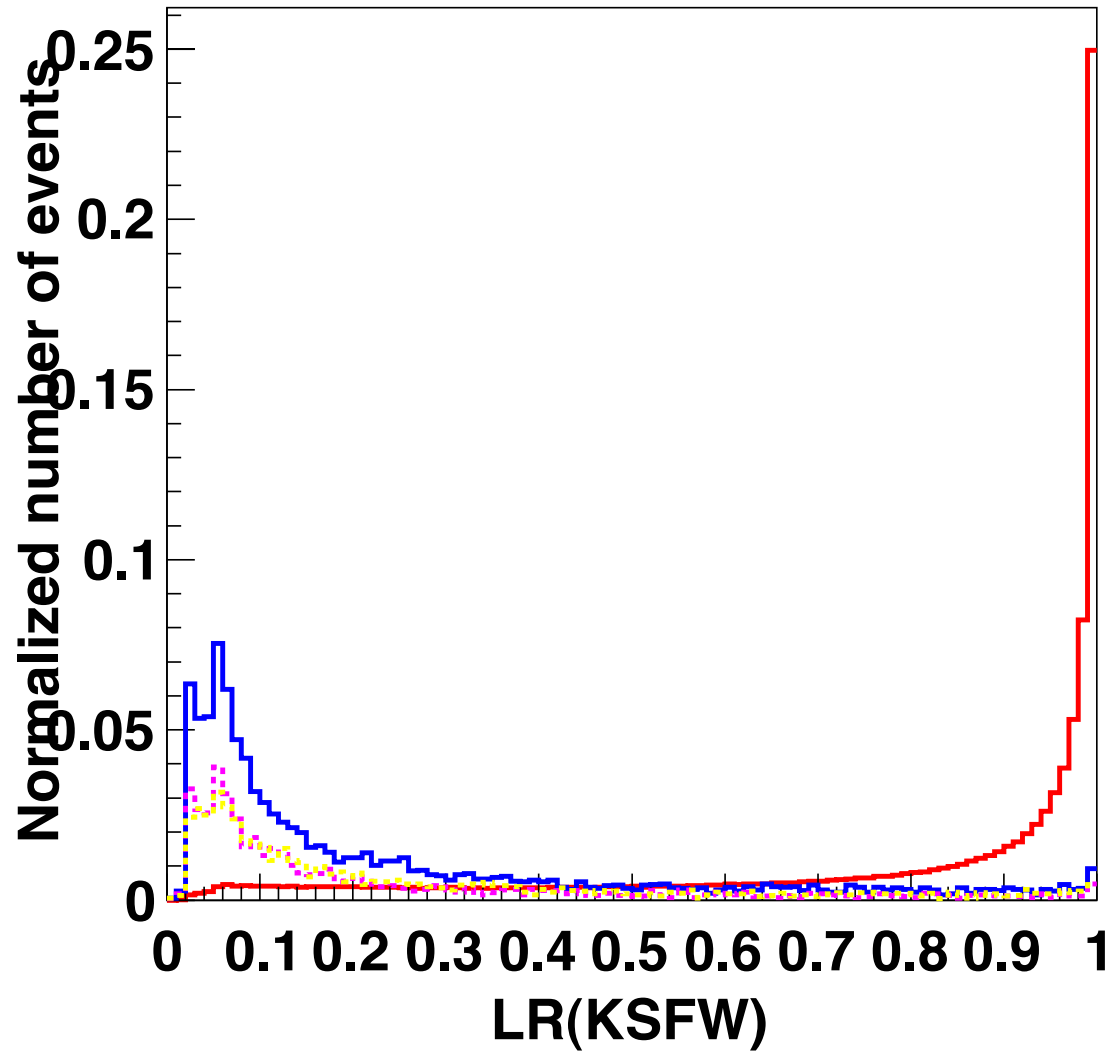
卷之三

NeuroBayes training

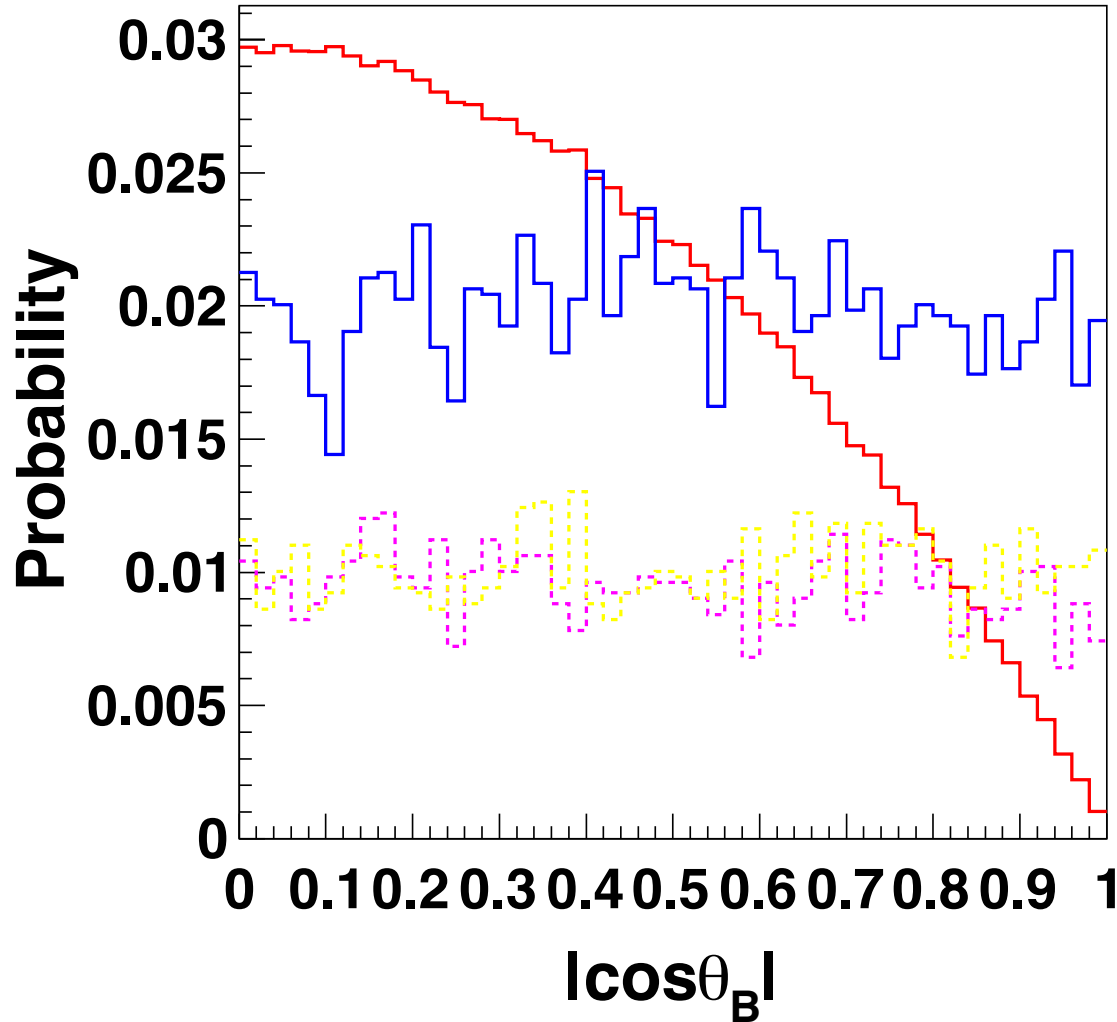
Phi-T
NeuroBayes® Teacher



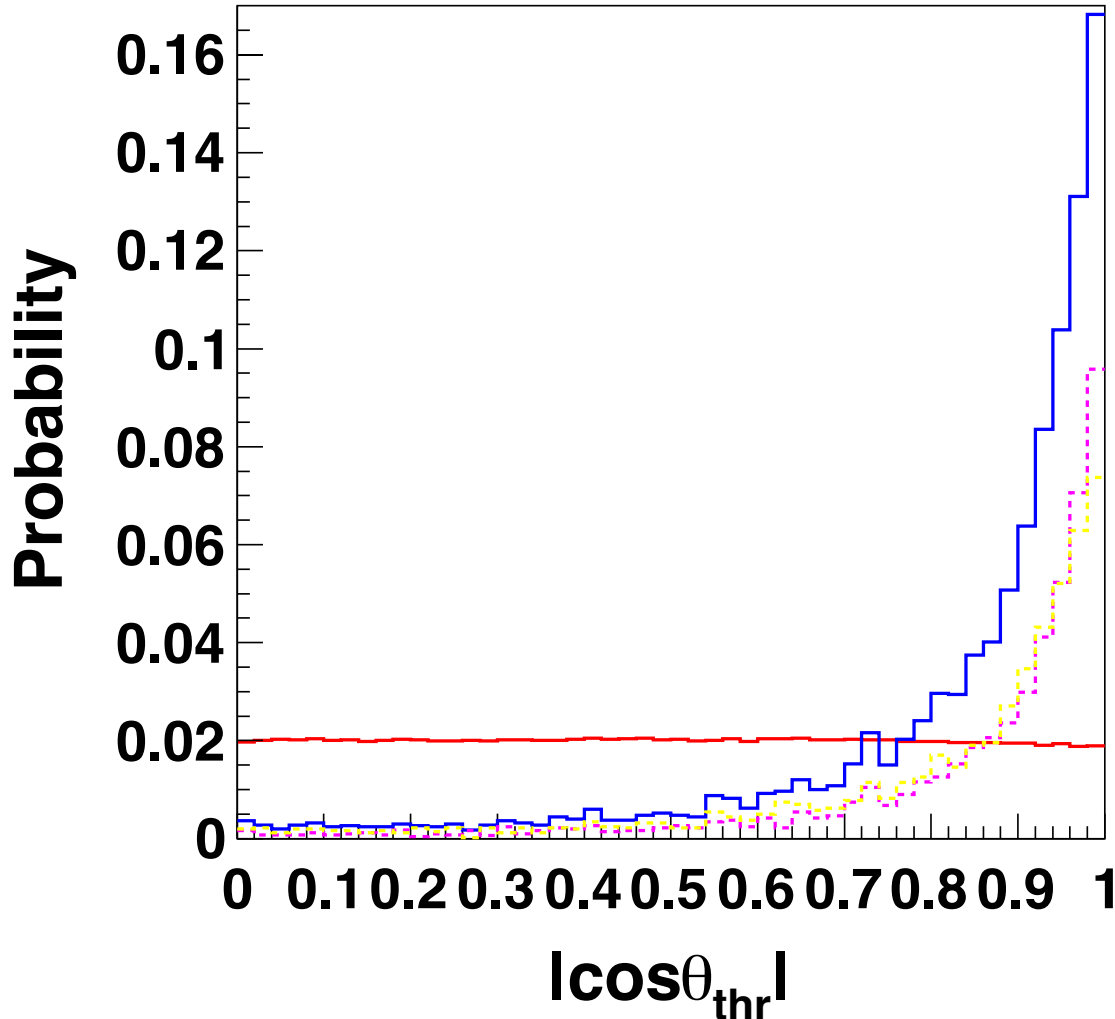
NeuroBayes input parameters



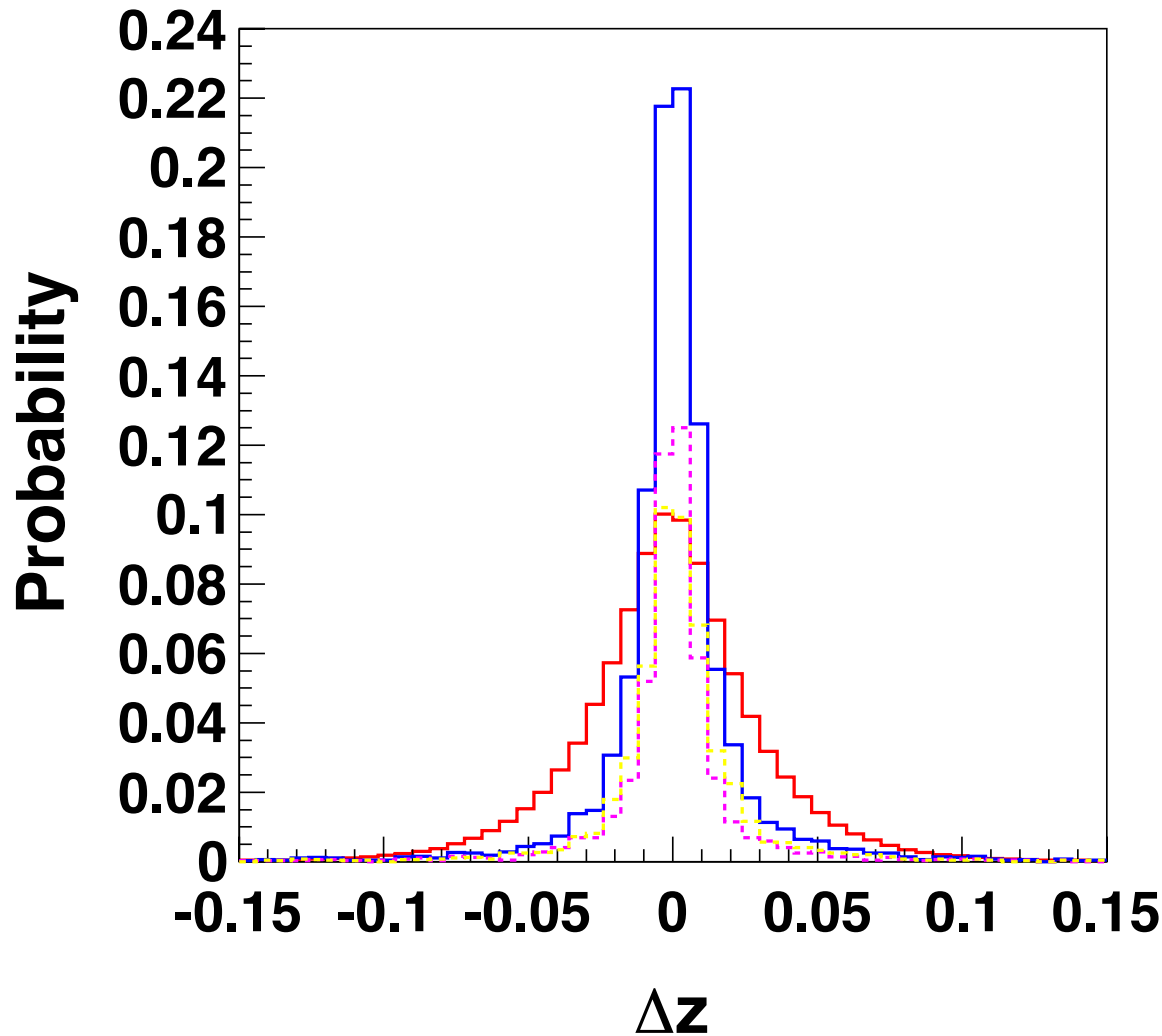
NeuroBayes input parameters



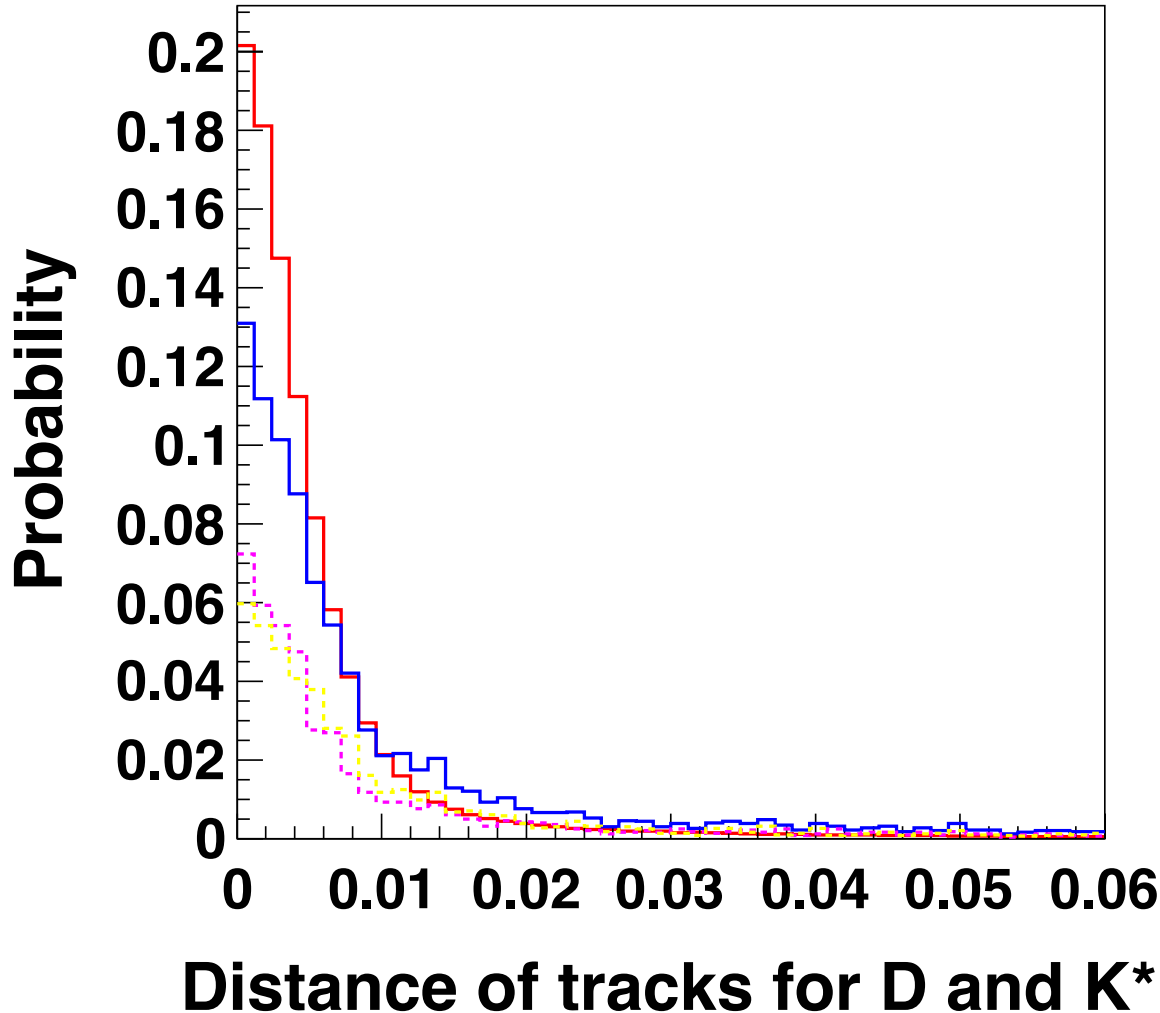
NeuroBayes input parameters



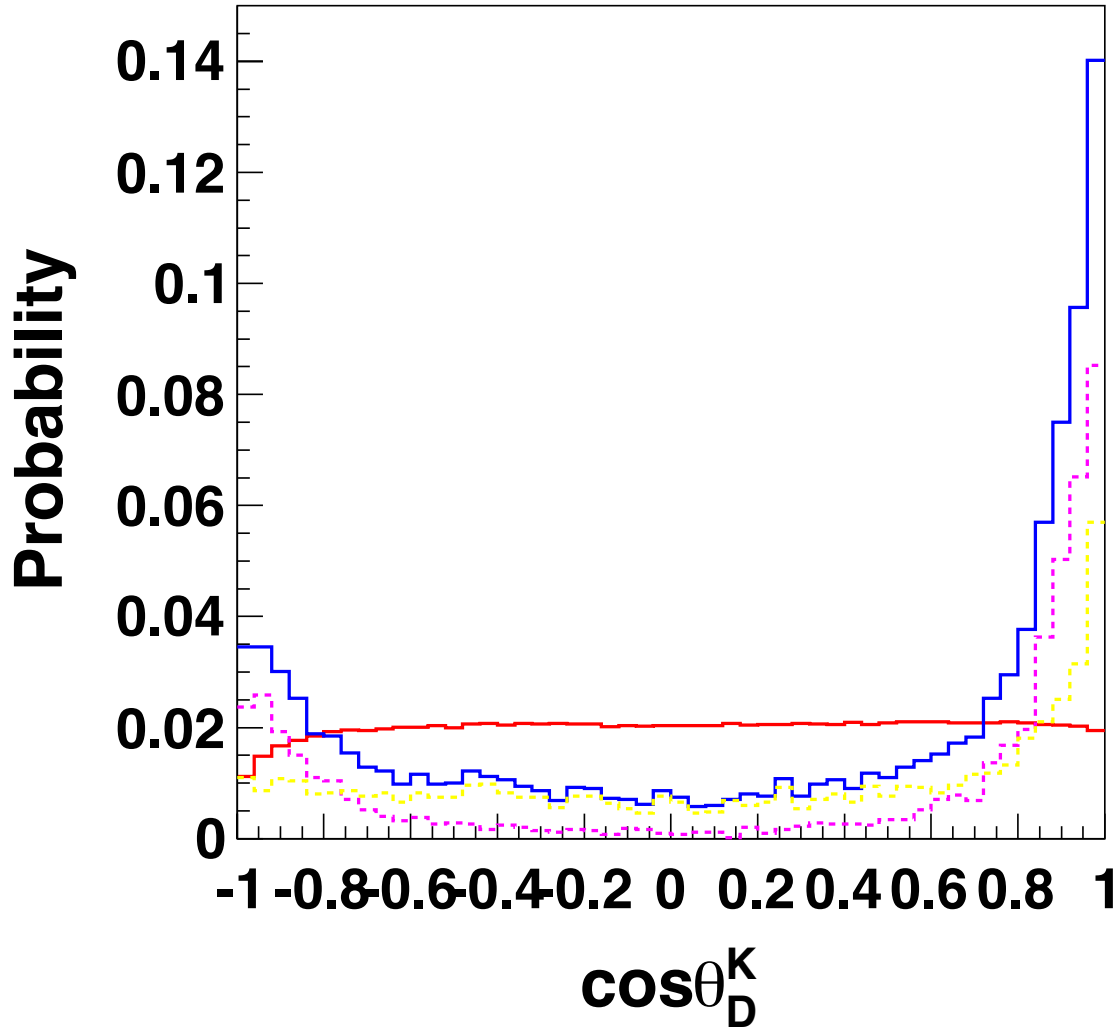
NeuroBayes input parameters



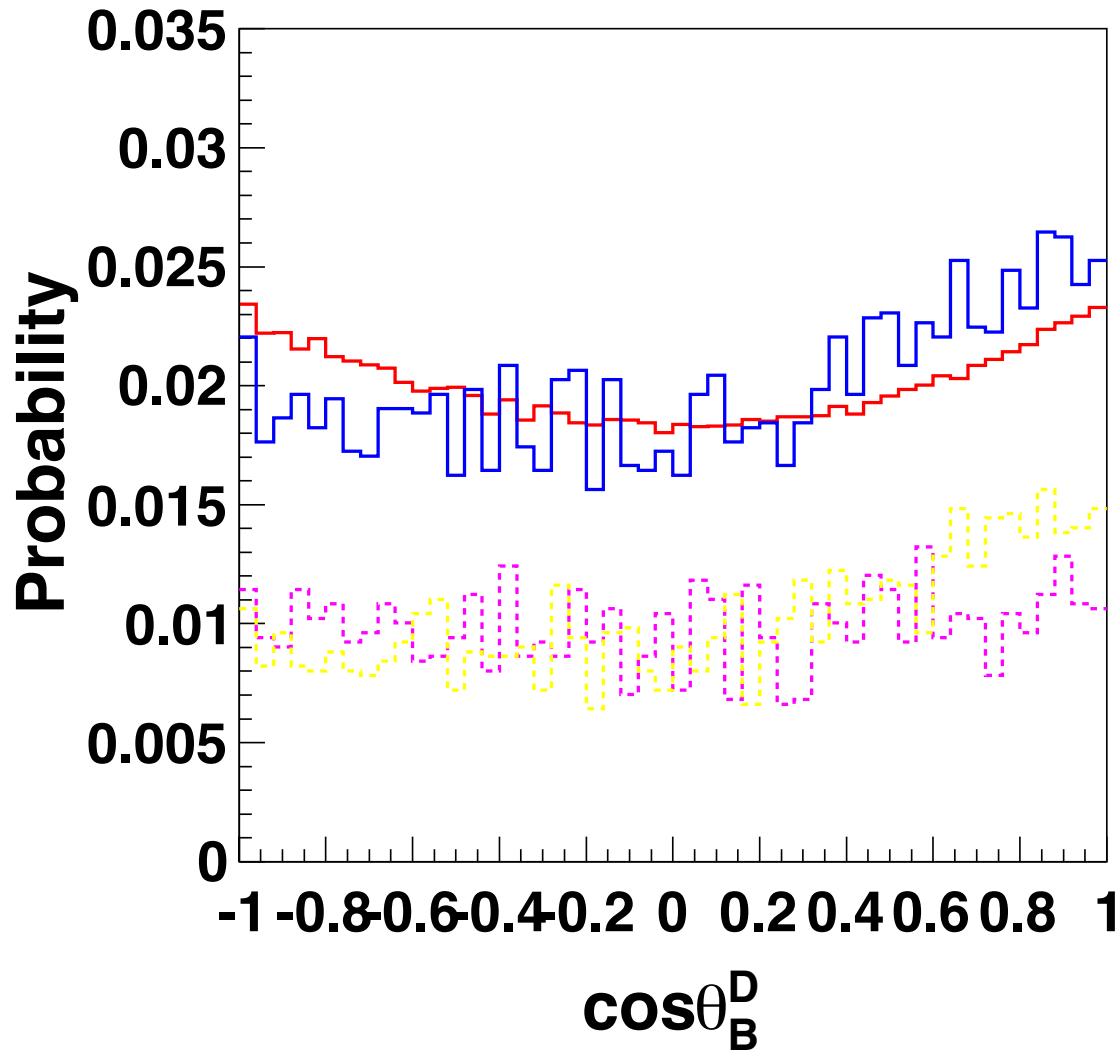
NeuroBayes input parameters



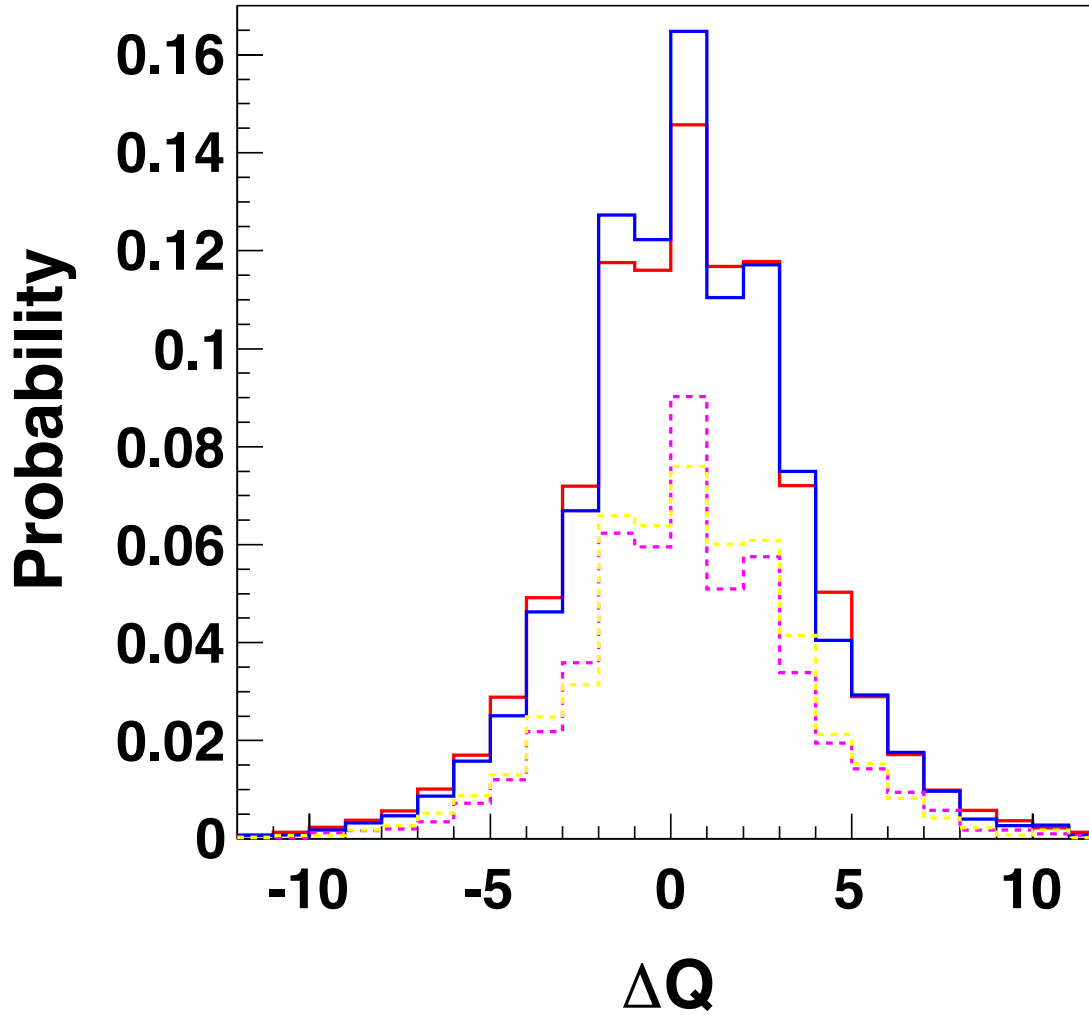
NeuroBayes input parameters



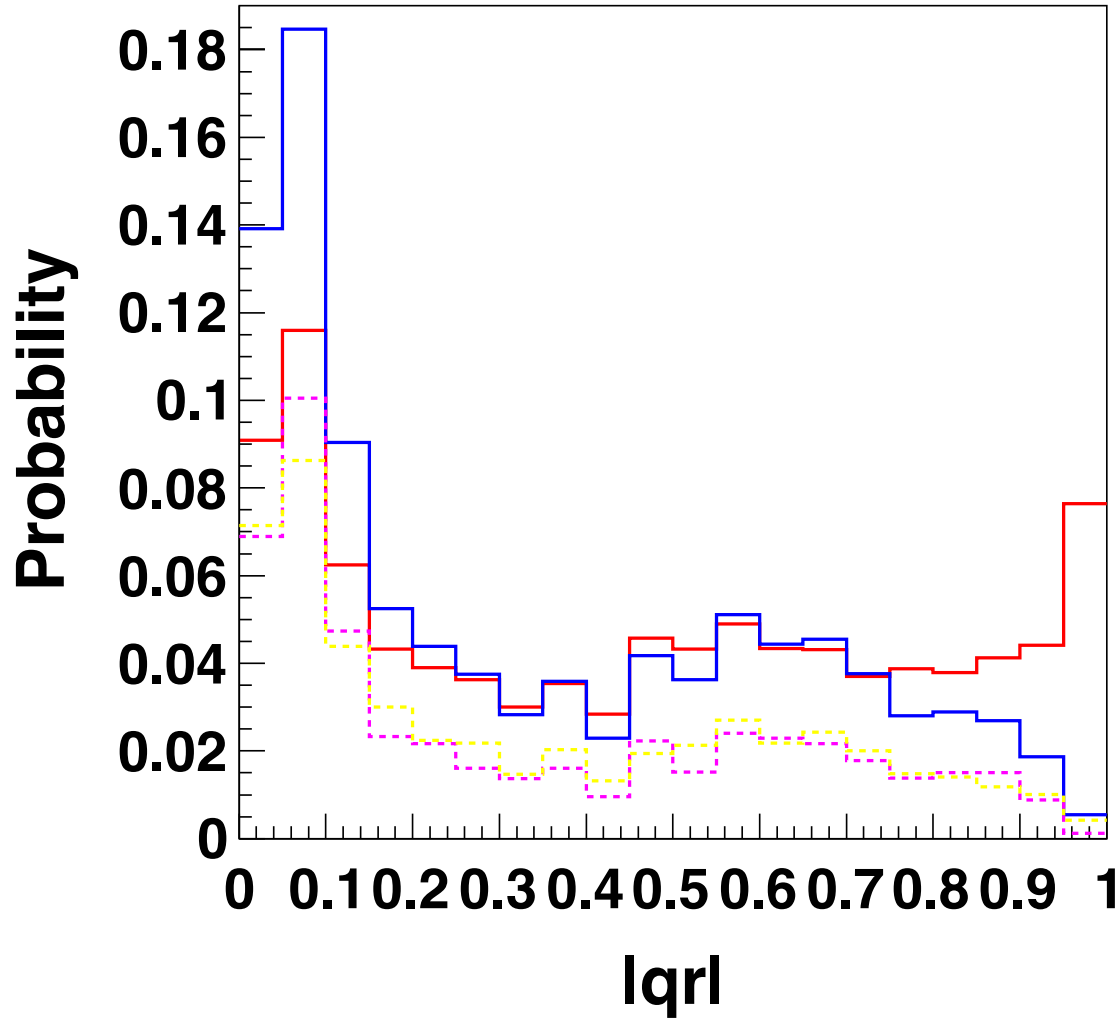
NeuroBayes input parameters



NeuroBayes input parameters



NeuroBayes input parameters

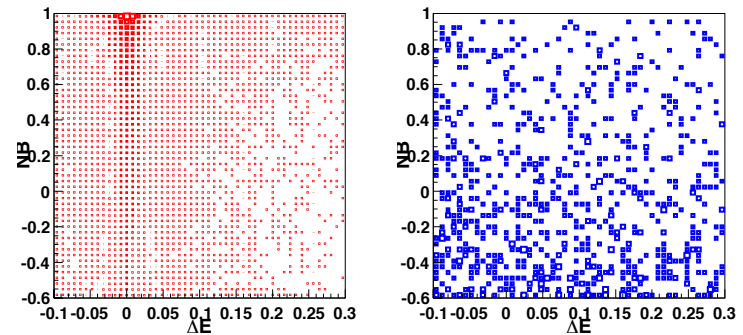


PDF

We perform ΔE -NB' 2D fit.

PDF for ΔE

- Signal: a double Gaussian fixed from signal MC
- Combinatorial BB: free exponential
- $D^0\rho^0 :$
- $D^0K^+ :$
- $D^0\pi^+ :$
- Peaking BGs: fixed from MC
 - $[K^*\pi^-]_{D^-} K^+$
- qq: free 1st order Chebychev

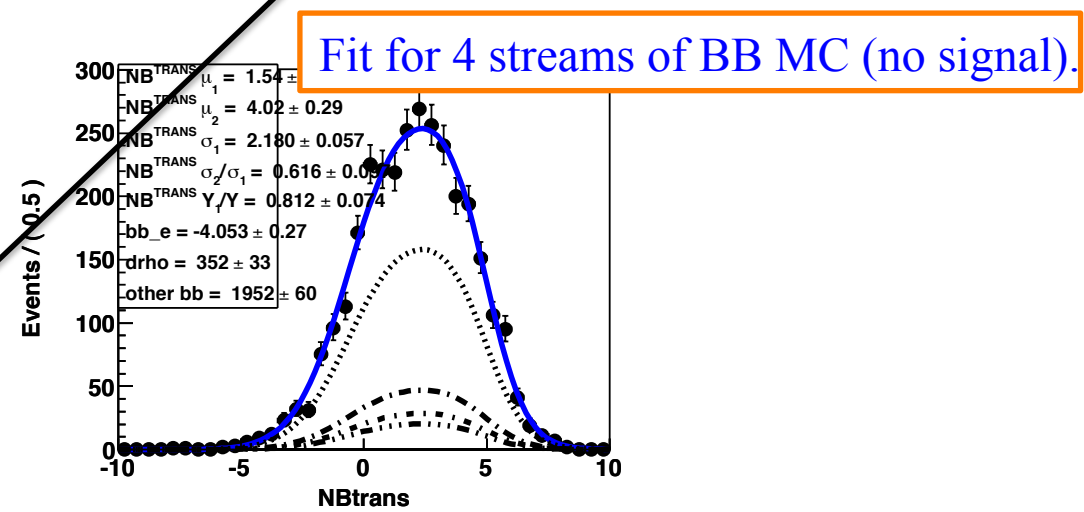
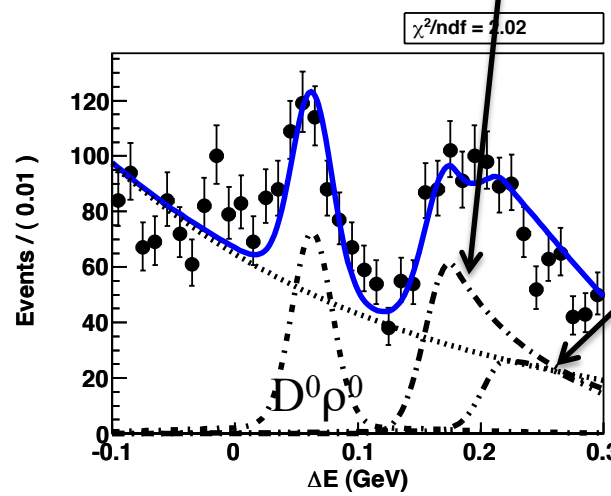
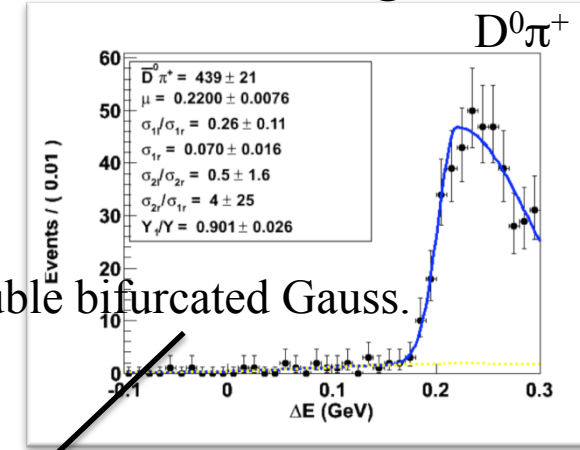
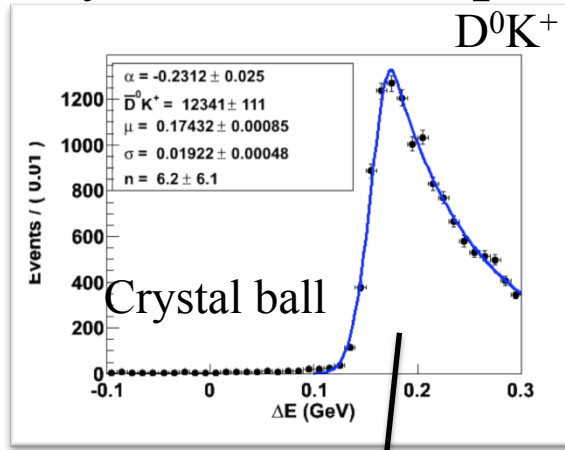


PDF for NB'

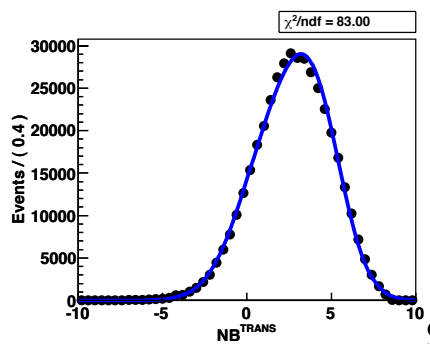
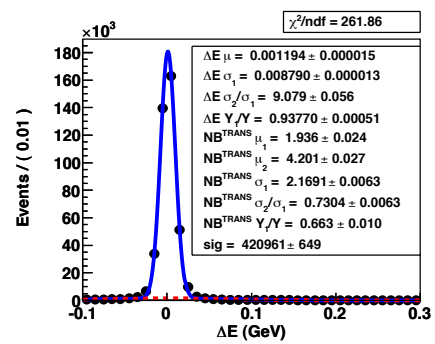
- Signal: a double Gaussian fixed from signal MC
- Comb. BB:
- $D^0\rho^0 :$
- $D^0K^+ :$
- $D^0\pi^+ :$
- Peaking BGs:
- qq: a double Gaussian fixed from M_{bc} sideband of the data.

Double Gaussians
Fixed from MC

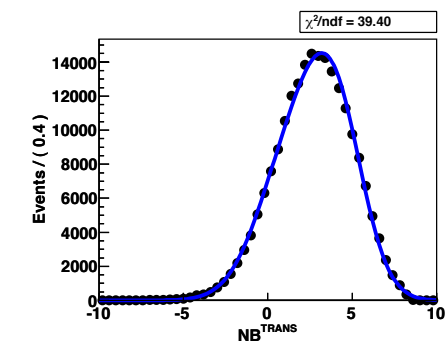
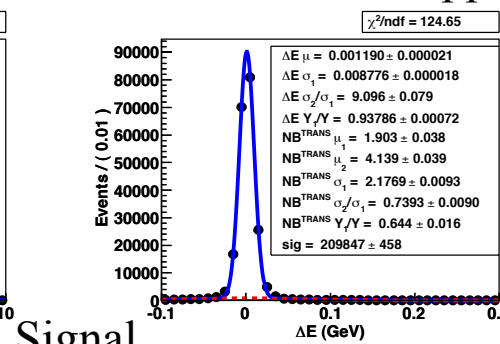
- The yields and shapes are fixed in the fit on signal MC.



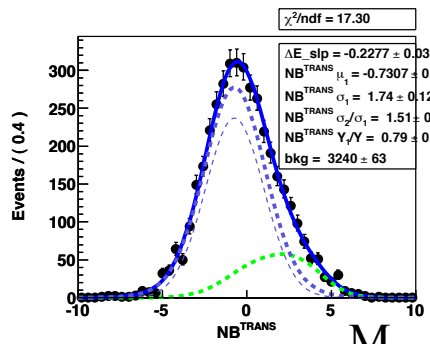
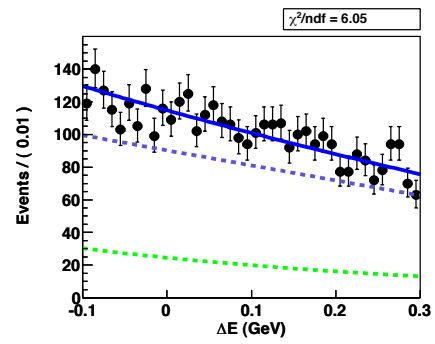
Favored mode



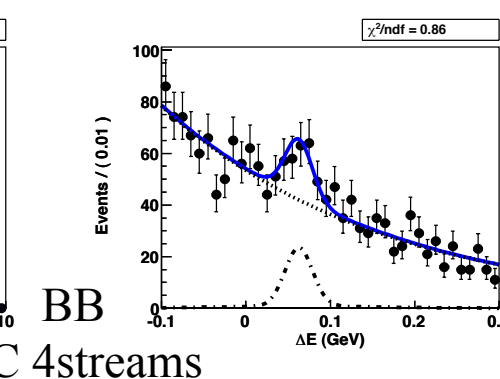
Suppressed mode



Signal



q-qbar sideband



BB MC 4streams

Systematic uncertainty

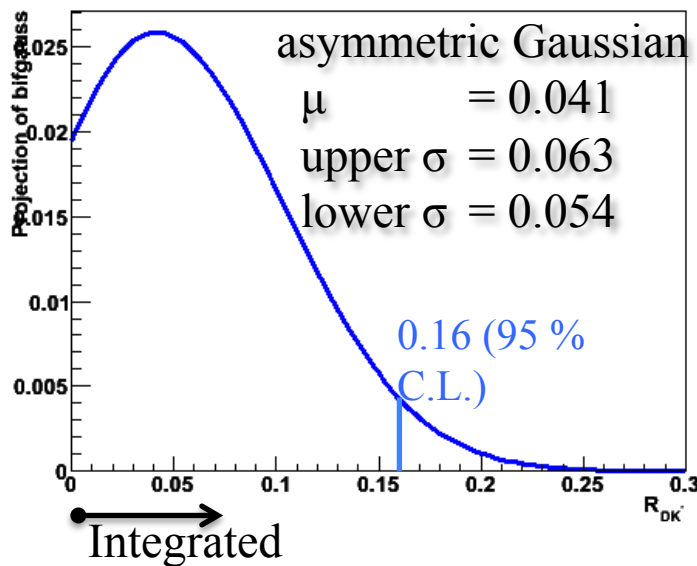
| Source | R_{DK^*} [10^{-2}] | |
|-----------|-----------------------------|-------------------------------------|
| Det. Eff. | + 0.08 - 0.08 | Sig. + 0.05 - 0.17 |
| PDF | + 2.81 - 1.85 | $\bar{D}^0 r^0$ + 0.04 - 0.08 |
| Fit bias | + 0.36 - 0.01 | $\bar{D}^0 K^+$ + 0.01 - 0.03 |
| Total | + 2.83 - 1.85 | $\bar{D}^0 p^+$ + 0.01 - 0.05 |
| | | BB + 1.76 - 1.17 |
| | | qq + 2.19 - 1.40 |
| | | Peaking + 0.07 - 0.12 |
| | | sum + 2.81 - 1.85 |

$$R_{DK^*} = (4.1^{+5.6}_{-5.0} {}^{+2.8}_{-1.8}) \times 10^{-2}$$

- **Detection efficiency:** MC statistics and PID calibration.
- **PDF:**
 - Uncertainties due to **fixed shape parameters** are obtained by varying them $\pm 1\sigma$.
 - Uncertainty due to **NB' PDF of BB BG** is estimated by applying signal PDF. Assign obtained difference to + and - sides (conservative).
 - Uncertainty due to the **peaking background** is estimated by applying 0-2 times the expected yields.
 - Uncertainties due to the **$D^0 K^+$ and $D^0 p^+$** yields are obtained by applying the error of efficiency and BR.
- **Fit bias:** obtain the pull distribution from 10,000 pseudo-experiments.

Upper limit on $R_{D\bar{K}^*}$

- We obtain the upper limit by using an asymmetric Gaussian, where the positive and negative widths correspond to positive and negative errors including the syst. err.



$$R_{D\bar{K}^*} = (4.1^{+5.6}_{-5.0}{}^{+2.8}_{-1.8}) \times 10^{-2}$$

$$< 0.16 \text{ (95 \% C.L.)}$$

BaBar'09 $R_{D\bar{K}^*} < 0.24$ (95 % C.L.)